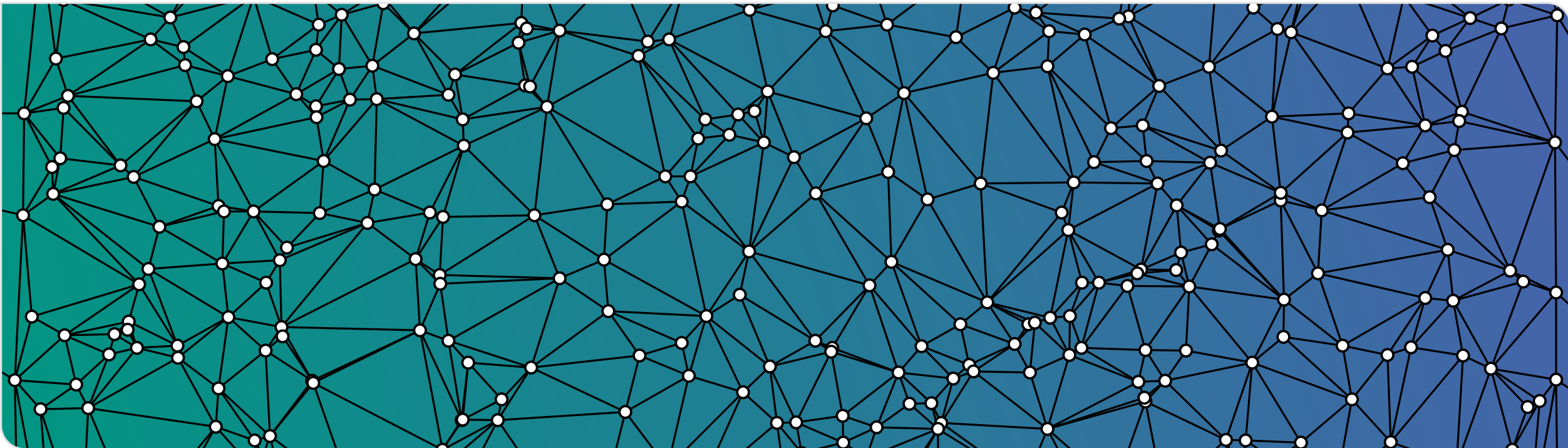


# Chains, Koch Chains, and Point Sets with Many Triangulations

von Daniel Rutschmann und Manuel Wettstein

Thomas Schäfer

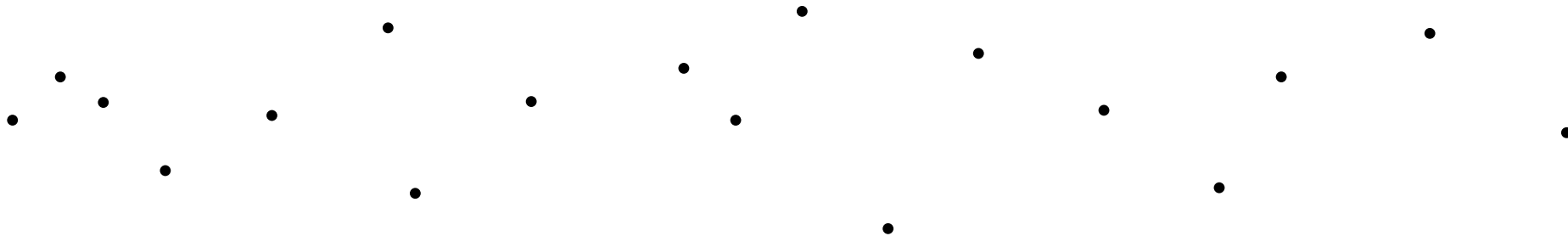


# Triangulierung von Punktmengen

- Triangulierung eines der klassischen Probleme der algorithmischen Geometrie

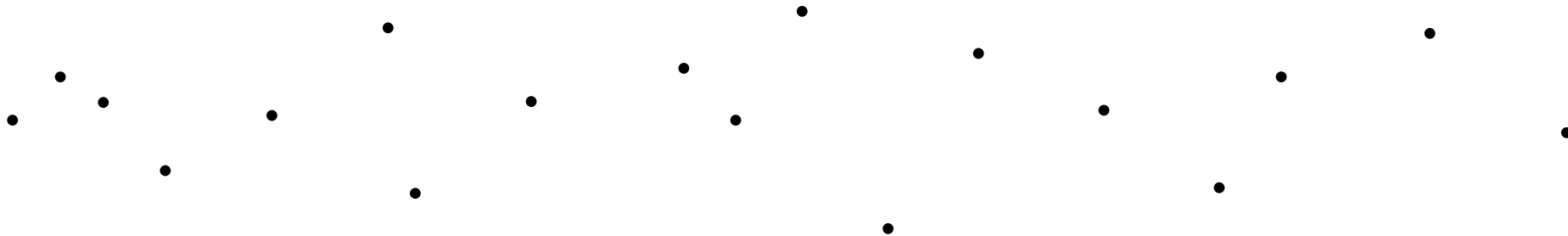
# Triangulierung von Punktmenge

- Triangulierung eines der klassischen Probleme der algorithmischen Geometrie
- Gegeben: Punktmenge  $P$  von  $n$  Punkten in der euklidischen Ebene
  - Annahme: allgemeine Lage von  $P$



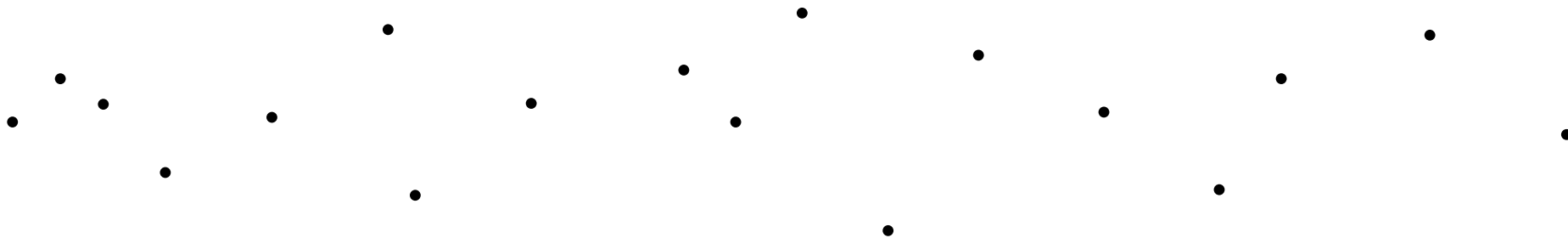
# Triangulierung von Punktmenge

- Triangulierung eines der klassischen Probleme der algorithmischen Geometrie
- Gegeben: Punktmenge  $P$  von  $n$  Punkten in der euklidischen Ebene
  - Annahme: allgemeine Lage von  $P$
- Triangulierung von Punktmenge ist ein kreuzungsfreier Graph mit nur geradlinigen Kanten auf  $P$



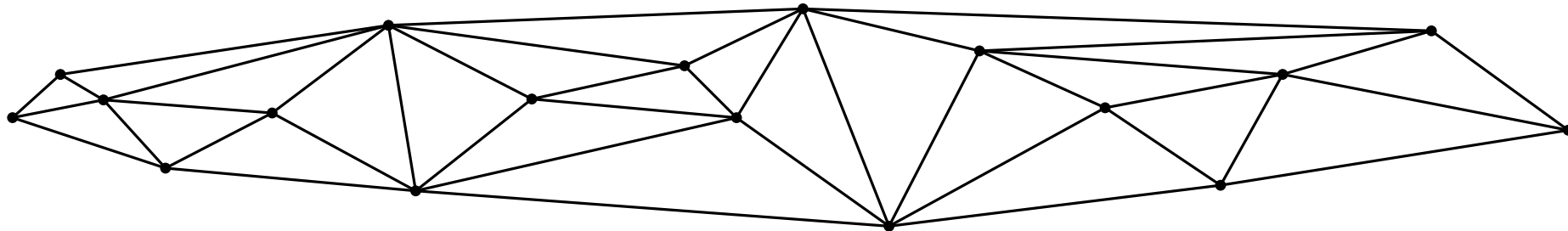
# Triangulierung von Punktmenge

- Triangulierung eines der klassischen Probleme der algorithmischen Geometrie
- Gegeben: Punktmenge  $P$  von  $n$  Punkten in der euklidischen Ebene
  - Annahme: allgemeine Lage von  $P$
- Triangulierung von Punktmenge ist ein kreuzungsfreier Graph mit nur geradlinigen Kanten auf  $P$
- Wie viele verschiedene Triangulierungen gibt es für  $P$ ?



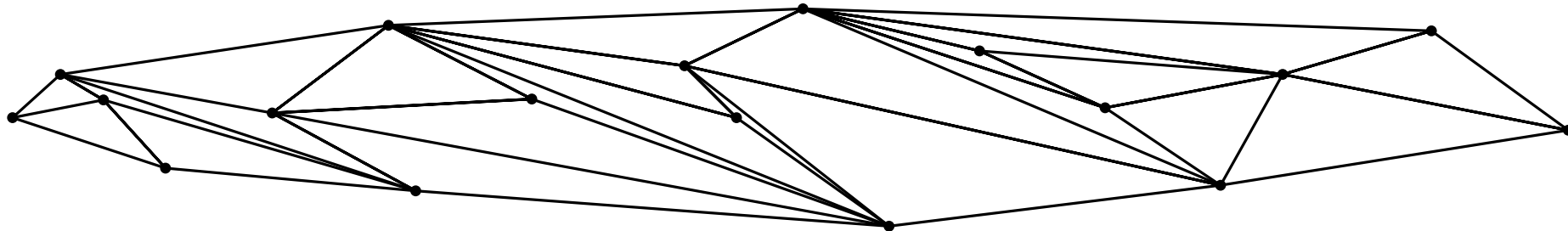
# Triangulierung von Punktmenge

- Triangulierung eines der klassischen Probleme der algorithmischen Geometrie
- Gegeben: Punktmenge  $P$  von  $n$  Punkten in der euklidischen Ebene
  - Annahme: allgemeine Lage von  $P$
- Triangulierung von Punktmenge ist ein kreuzungsfreier Graph mit nur geradlinigen Kanten auf  $P$
- Wie viele verschiedene Triangulierungen gibt es für  $P$ ?



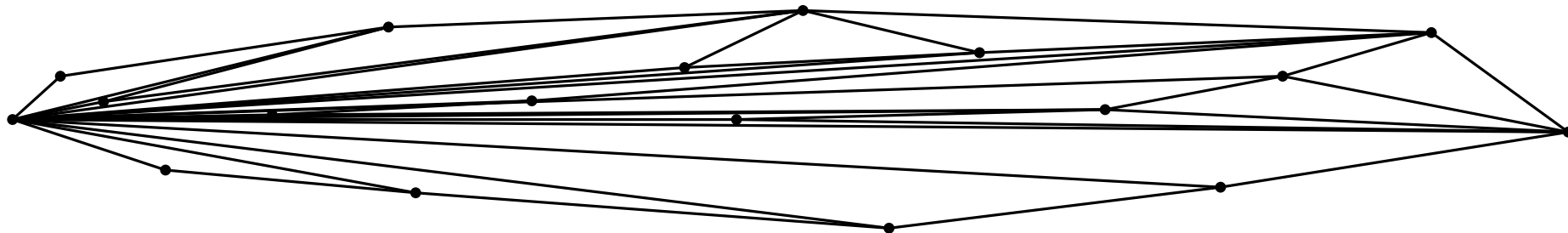
# Triangulierung von Punktmenge

- Triangulierung eines der klassischen Probleme der algorithmischen Geometrie
- Gegeben: Punktmenge  $P$  von  $n$  Punkten in der euklidischen Ebene
  - Annahme: allgemeine Lage von  $P$
- Triangulierung von Punktmenge ist ein kreuzungsfreier Graph mit nur geradlinigen Kanten auf  $P$
- Wie viele verschiedene Triangulierungen gibt es für  $P$ ?



# Triangulierung von Punktmenge

- Triangulierung eines der klassischen Probleme der algorithmischen Geometrie
- Gegeben: Punktmenge  $P$  von  $n$  Punkten in der euklidischen Ebene
  - Annahme: allgemeine Lage von  $P$
- Triangulierung von Punktmenge ist ein kreuzungsfreier Graph mit nur geradlinigen Kanten auf  $P$
- Wie viele verschiedene Triangulierungen gibt es für  $P$ ?



# Familien von Punktmenngen

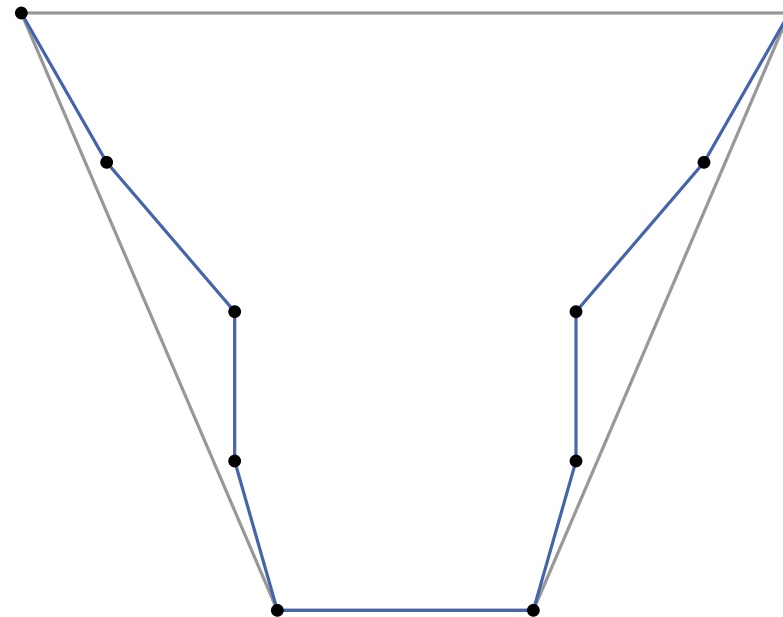
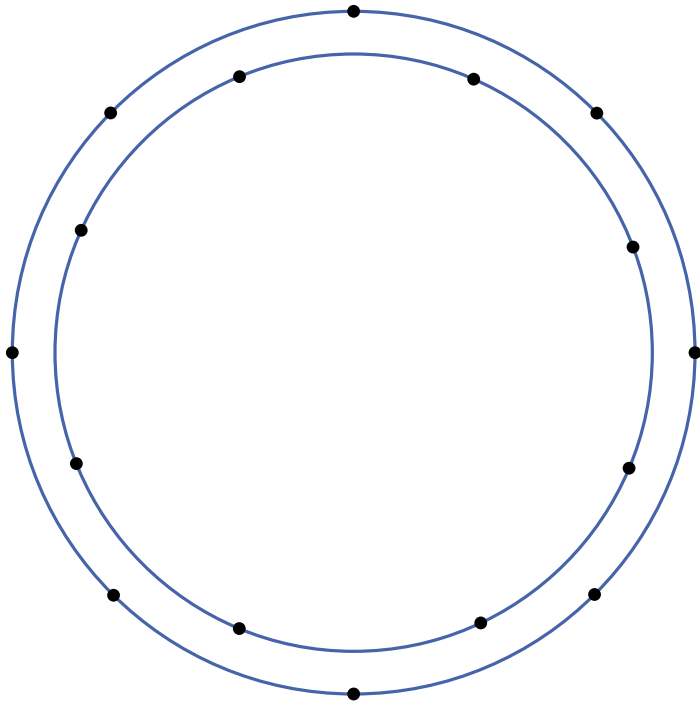
- gesucht: Familie von Punktmenngen mit besonders vielen Triangulierungen

# Familien von Punktmenngen

- gesucht: Familie von Punktmenngen mit besonders vielen Triangulierungen
- Bezeichne  $\text{tr}(P)$  als Anzahl verschiedener Triangulierungen einer gegebenen Punktmenge  $P$

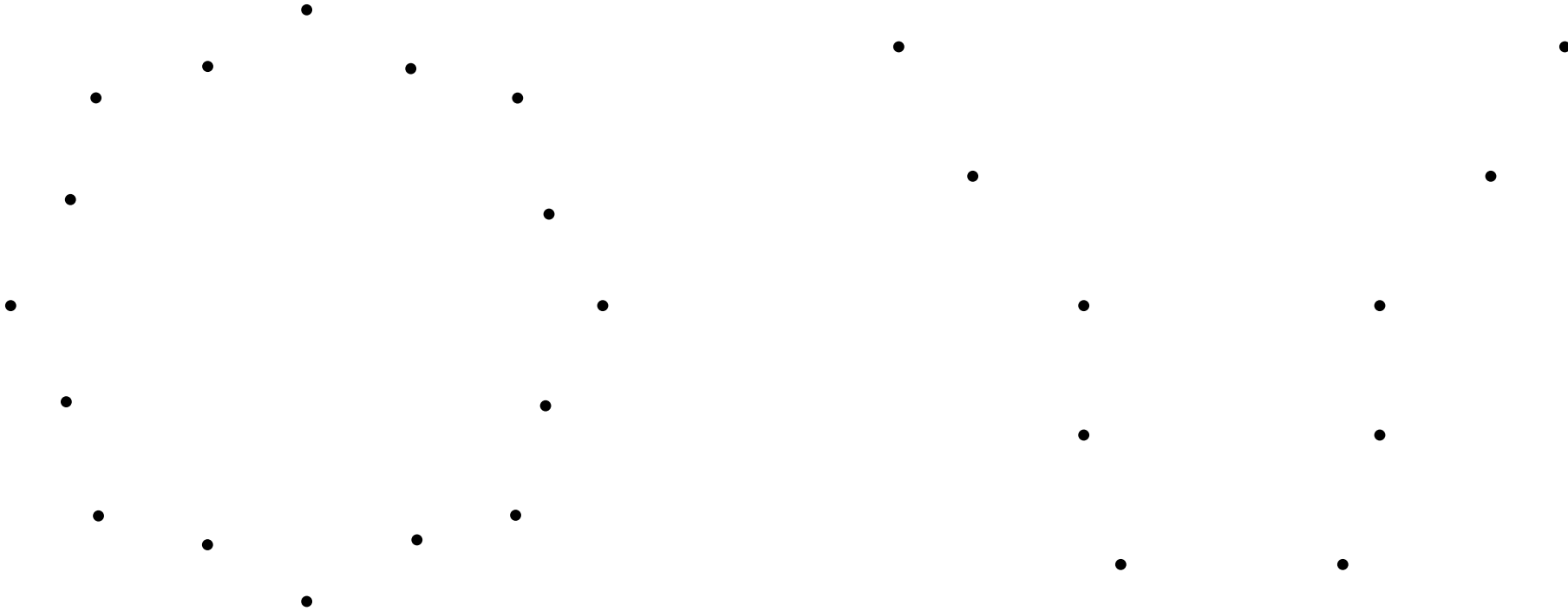
# Familien von Punktmenge

- gesucht: Familie von Punktmenge mit besonders vielen Triangulierungen
- Bezeichne  $\text{tr}(P)$  als Anzahl verschiedener Triangulierungen einer gegebenen Punktmenge  $P$



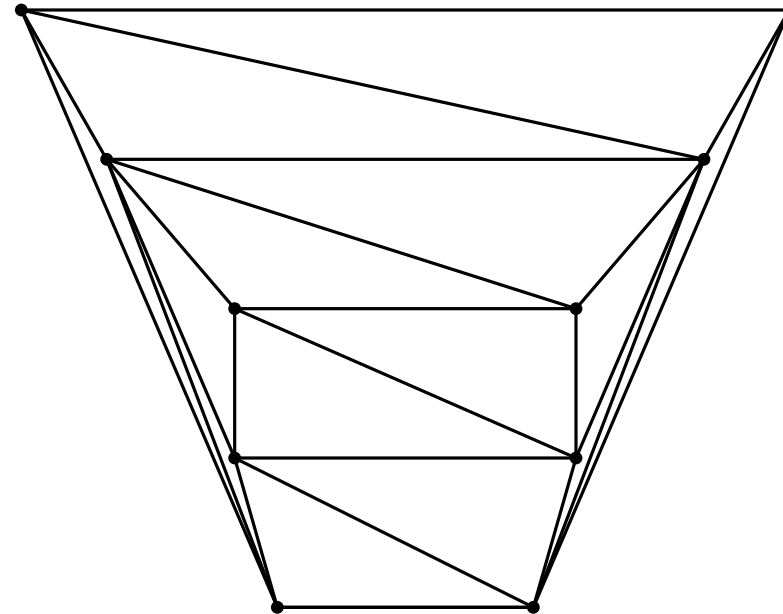
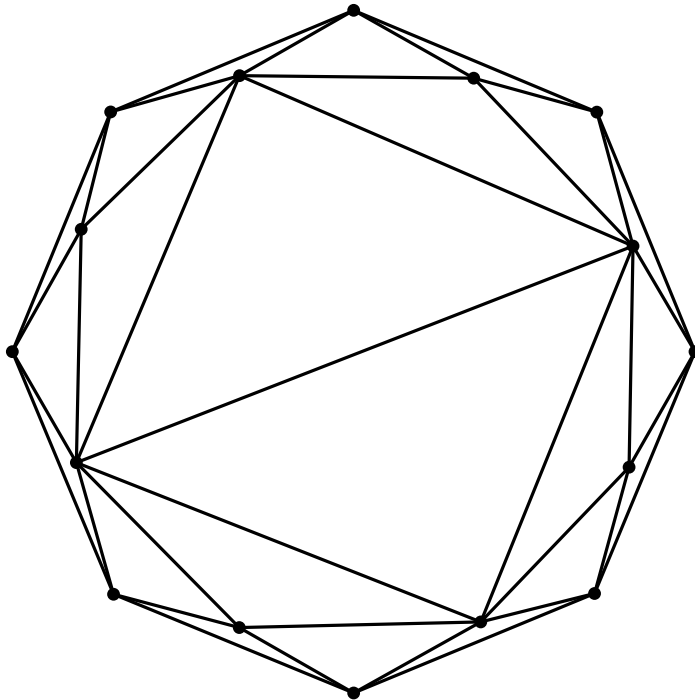
# Familien von Punktmenngen

- gesucht: Familie von Punktmenngen mit besonders vielen Triangulierungen
- Bezeichne  $\text{tr}(P)$  als Anzahl verschiedener Triangulierungen einer gegebenen Punktmenge  $P$



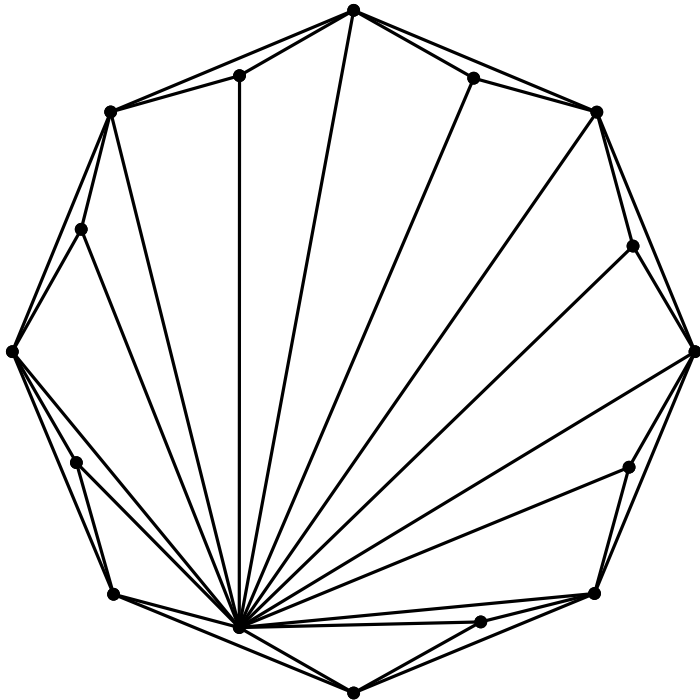
# Familien von Punktmenge

- gesucht: Familie von Punktmenge mit besonders vielen Triangulierungen
- Bezeichne  $\text{tr}(P)$  als Anzahl verschiedener Triangulierungen einer gegebenen Punktmenge  $P$

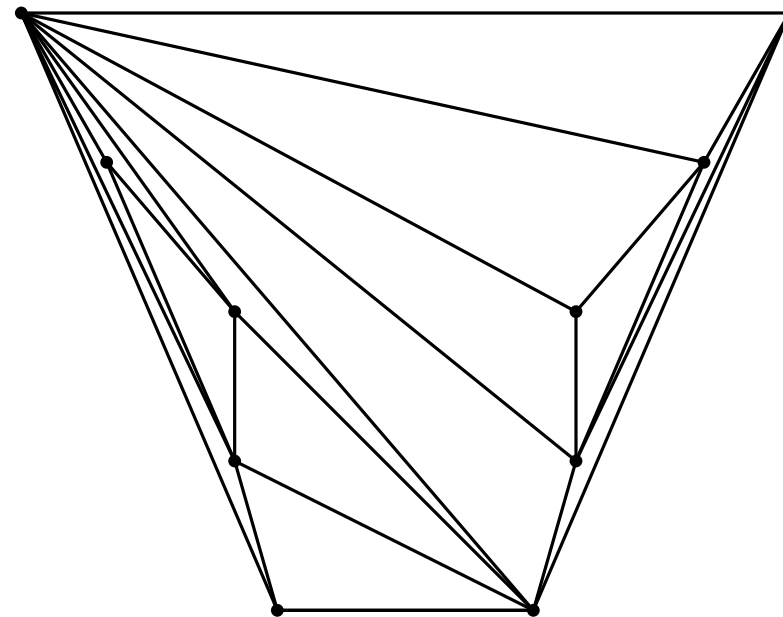


# Familien von Punktmenge

- gesucht: Familie von Punktmenge mit besonders vielen Triangulierungen
- Bezeichne  $\text{tr}(P)$  als Anzahl verschiedener Triangulierungen einer gegebenen Punktmenge  $P$



$$\text{tr}(P) = \Theta(3.47^n) \quad [\text{Dumitrescu et al. 2013}]$$



$$\text{tr}(P) = \Omega(8.65^n) \quad [\text{Hurtado, Noy 1997}]$$

# Contribution des Papers

- neue Techniken zur abstrakten Notation von Punktfolgen
- lassen sich dadurch als Formel von Operationen darstellen

# Contribution des Papers

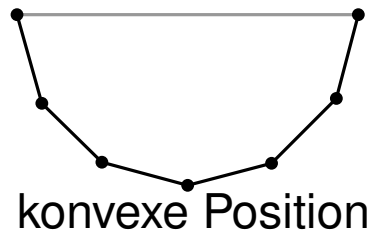
- neue Techniken zur abstrakten Notation von Punktfolgen
- lassen sich dadurch als Formel von Operationen darstellen
- Kombinatorik statt Geometrie
- ermöglicht kombinatorischen Beweis der Schranken

# Contribution des Papers

- neue Techniken zur abstrakten Notation von Punktmenge
- lassen sich dadurch als Formel von Operationen darstellen
- Kombinatorik statt Geometrie
- ermöglicht kombinatorischen Beweis der Schranken
- Vorstellung neue Familie von Punktmenge mit bisher meisten verschiedenen Triangulierungen (Koch Chains)

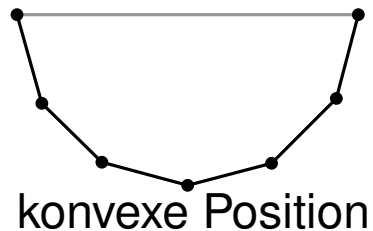
# Chains

- letzte Rekordhalter lassen sich alle Typ *Chain* zuordnen
- Chain  $C$  ist Sequenz von Punkten  $p_0, \dots, p_n$  sortiert nach x-Koordinate, sodass jede Kante  $p_{i-1}p_i$  *unvermeidbar* in Triangulierung von  $C$



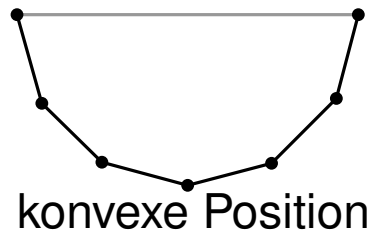
# Chains

- letzte Rekordhalter lassen sich alle Typ *Chain* zuordnen
- Chain  $C$  ist Sequenz von Punkten  $p_0, \dots, p_n$  sortiert nach x-Koordinate, sodass jede Kante  $p_{i-1}p_i$  *unvermeidbar* in Triangulierung von  $C$
- unvermeidbare Kanten auch als *Chain Edges* bezeichnet



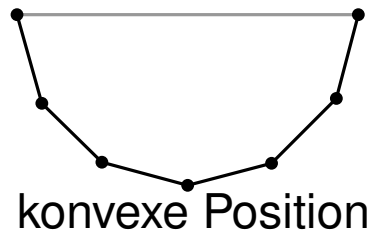
# Chains

- letzte Rekordhalter lassen sich alle Typ *Chain* zuordnen
- Chain  $C$  ist Sequenz von Punkten  $p_0, \dots, p_n$  sortiert nach x-Koordinate, sodass jede Kante  $p_{i-1}p_i$  *unvermeidbar* in Triangulierung von  $C$
- unvermeidbare Kanten auch als *Chain Edges* bezeichnet
- Kante  $p_0p_n$  immer Kante der konvexen Hülle - auch unvermeidbar



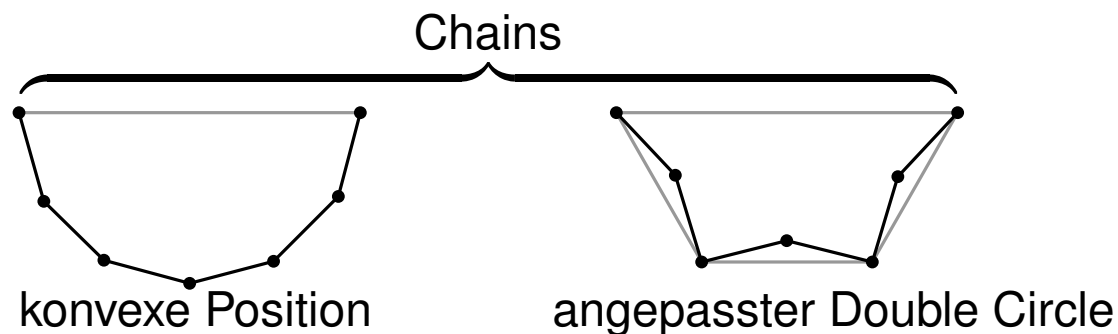
# Chains

- letzte Rekordhalter lassen sich alle Typ *Chain* zuordnen
- Chain  $C$  ist Sequenz von Punkten  $p_0, \dots, p_n$  sortiert nach x-Koordinate, sodass jede Kante  $p_{i-1}p_i$  *unvermeidbar* in Triangulierung von  $C$
- unvermeidbare Kanten auch als *Chain Edges* bezeichnet
- Kante  $p_0p_n$  immer Kante der konvexen Hülle - auch unvermeidbar
- Chain Edges formen x-monotone *Chain Curve*



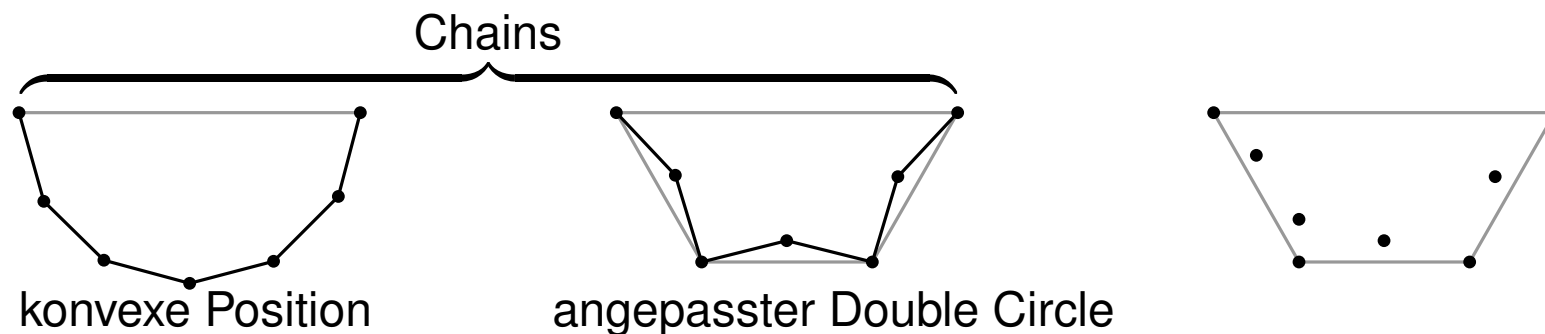
# Chains

- letzte Rekordhalter lassen sich alle Typ *Chain* zuordnen
- Chain  $C$  ist Sequenz von Punkten  $p_0, \dots, p_n$  sortiert nach x-Koordinate, sodass jede Kante  $p_{i-1}p_i$  *unvermeidbar* in Triangulierung von  $C$
- unvermeidbare Kanten auch als *Chain Edges* bezeichnet
- Kante  $p_0p_n$  immer Kante der konvexen Hülle - auch unvermeidbar
- Chain Edges formen x-monotone *Chain Curve*



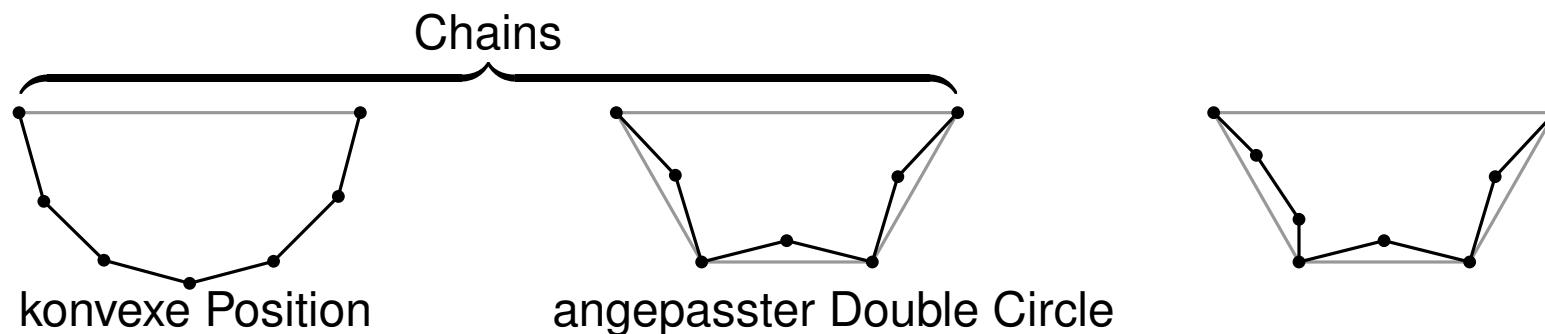
# Chains

- letzte Rekordhalter lassen sich alle Typ *Chain* zuordnen
- Chain  $C$  ist Sequenz von Punkten  $p_0, \dots, p_n$  sortiert nach x-Koordinate, sodass jede Kante  $p_{i-1}p_i$  *unvermeidbar* in Triangulierung von  $C$
- unvermeidbare Kanten auch als *Chain Edges* bezeichnet
- Kante  $p_0p_n$  immer Kante der konvexen Hülle - auch unvermeidbar
- Chain Edges formen x-monotone *Chain Curve*



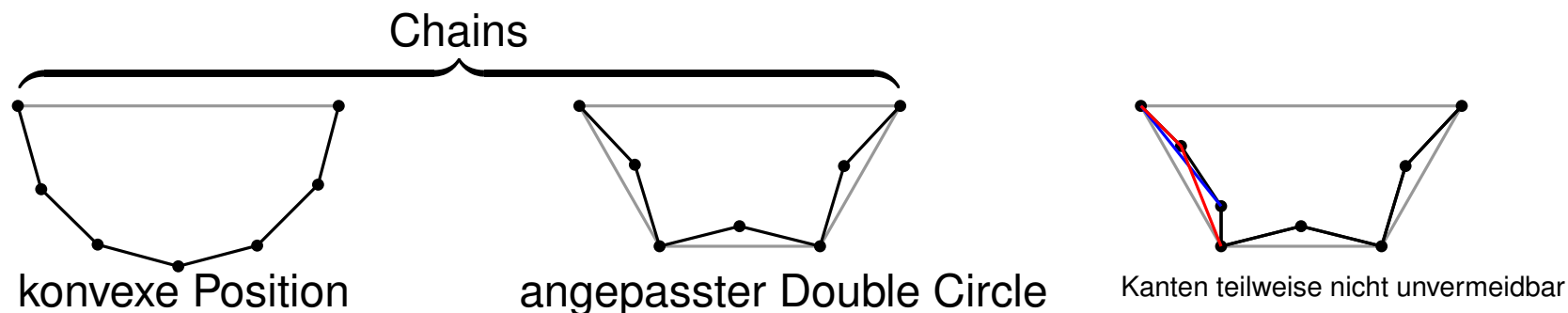
# Chains

- letzte Rekordhalter lassen sich alle Typ *Chain* zuordnen
- Chain  $C$  ist Sequenz von Punkten  $p_0, \dots, p_n$  sortiert nach x-Koordinate, sodass jede Kante  $p_{i-1}p_i$  *unvermeidbar* in Triangulierung von  $C$
- unvermeidbare Kanten auch als *Chain Edges* bezeichnet
- Kante  $p_0p_n$  immer Kante der konvexen Hülle - auch unvermeidbar
- Chain Edges formen x-monotone *Chain Curve*



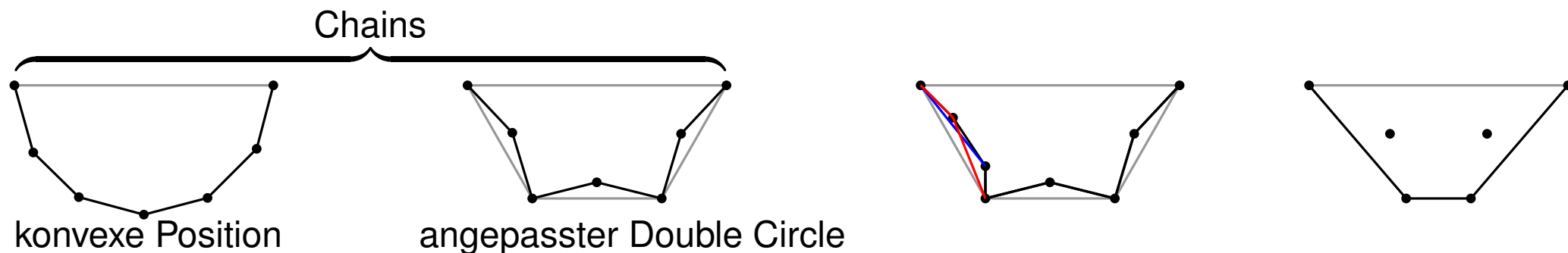
# Chains

- letzte Rekordhalter lassen sich alle Typ *Chain* zuordnen
- Chain  $C$  ist Sequenz von Punkten  $p_0, \dots, p_n$  sortiert nach x-Koordinate, sodass jede Kante  $p_{i-1}p_i$  *unvermeidbar* in Triangulierung von  $C$
- unvermeidbare Kanten auch als *Chain Edges* bezeichnet
- Kante  $p_0p_n$  immer Kante der konvexen Hülle - auch unvermeidbar
- Chain Edges formen x-monotone *Chain Curve*



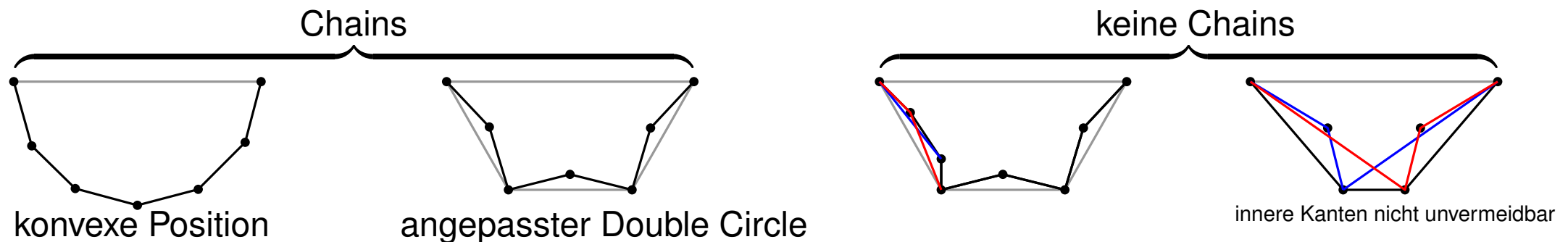
# Chains

- letzte Rekordhalter lassen sich alle Typ *Chain* zuordnen
- Chain  $C$  ist Sequenz von Punkten  $p_0, \dots, p_n$  sortiert nach x-Koordinate, sodass jede Kante  $p_{i-1}p_i$  *unvermeidbar* in Triangulierung von  $C$
- unvermeidbare Kanten auch als *Chain Edges* bezeichnet
- Kante  $p_0p_n$  immer Kante der konvexen Hülle - auch unvermeidbar
- Chain Edges formen x-monotone *Chain Curve*



# Chains

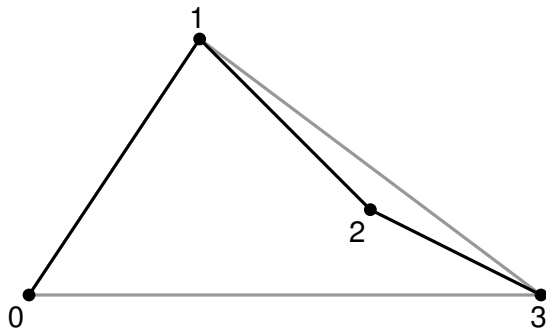
- letzte Rekordhalter lassen sich alle Typ *Chain* zuordnen
- Chain  $C$  ist Sequenz von Punkten  $p_0, \dots, p_n$  sortiert nach x-Koordinate, sodass jede Kante  $p_{i-1}p_i$  *unvermeidbar* in Triangulierung von  $C$
- unvermeidbare Kanten auch als *Chain Edges* bezeichnet
- Kante  $p_0p_n$  immer Kante der konvexen Hülle - auch unvermeidbar
- Chain Edges formen x-monotone *Chain Curve*



# Strukturelle Eigenschaften von Chains - Visibility Triangle

- zu jeder Chain gibt es ein *Visibility Triangle*  $V(C)$ :

$$V(C)_{i,j} = \begin{cases} +1, & \text{falls } p_i p_j \text{ über Chain Curve (obere Kante),} \\ -1, & \text{falls } p_i p_j \text{ unter Chain Curve (untere Kante),} \\ 0, & \text{falls } p_i p_j \text{ Chain Edge.} \end{cases}$$

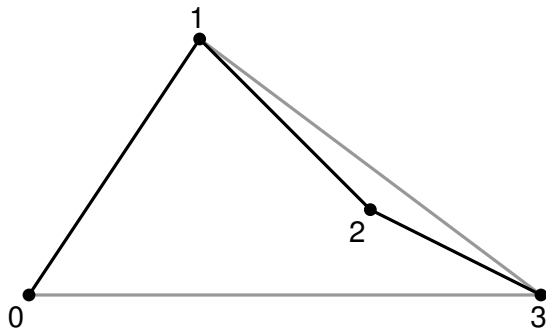


	1	2	3
0	0	-	-
1		0	+
2			0

# Strukturelle Eigenschaften von Chains - Visibility Triangle

- zu jeder Chain gibt es ein *Visibility Triangle*  $V(C)$ :

$$V(C)_{i,j} = \begin{cases} +1, & \text{falls } p_i p_j \text{ über Chain Curve (obere Kante),} \\ -1, & \text{falls } p_i p_j \text{ unter Chain Curve (untere Kante),} \\ 0, & \text{falls } p_i p_j \text{ Chain Edge.} \end{cases}$$



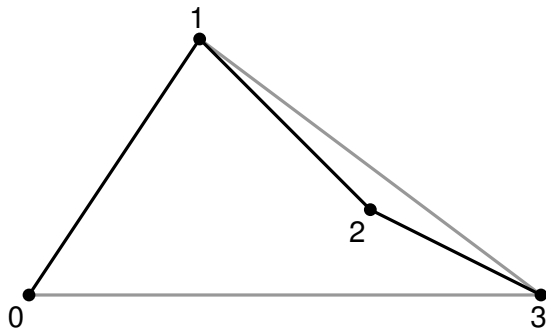
	1	2	3
0	0	-	-
1		0	+
2			0

- ermöglicht Vergleich von Chains aufgrund ihrer  $V(C)$
- $V(C_1) = V(C_2) \Rightarrow \text{tr}(C_1) = \text{tr}(C_2)$

# Strukturelle Eigenschaften von Chains - Visibility Triangle

- zu jeder Chain gibt es ein *Visibility Triangle*  $V(C)$ :

$$V(C)_{i,j} = \begin{cases} +1, & \text{falls } p_i p_j \text{ über Chain Curve (obere Kante),} \\ -1, & \text{falls } p_i p_j \text{ unter Chain Curve (untere Kante),} \\ 0, & \text{falls } p_i p_j \text{ Chain Edge.} \end{cases}$$



	1	2	3
0	0	-	-
1		0	+
2			0

- ermöglicht Vergleich von Chains aufgrund ihrer  $V(C)$
- $V(C_1) = V(C_2) \Rightarrow \text{tr}(C_1) = \text{tr}(C_2)$
- Chain nach oben / unten geöffnet  $\rightarrow$  *Upward / Downward Chain*
  - vgl. Eintrag in Zelle  $(0, n)$  von  $V(C)$

# Strukturelle Eigenschaften - Flips

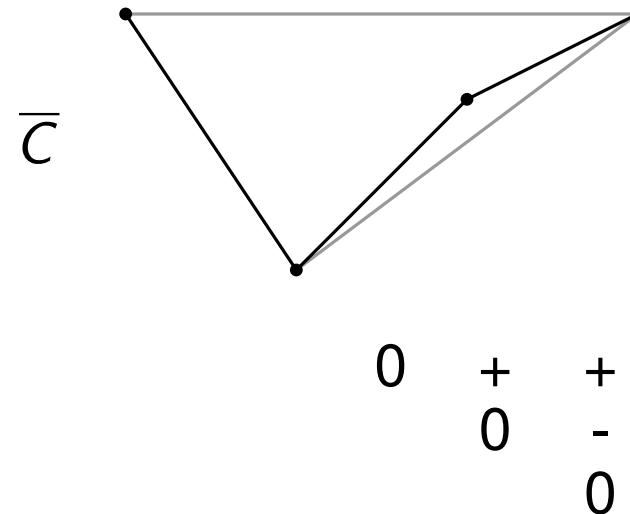
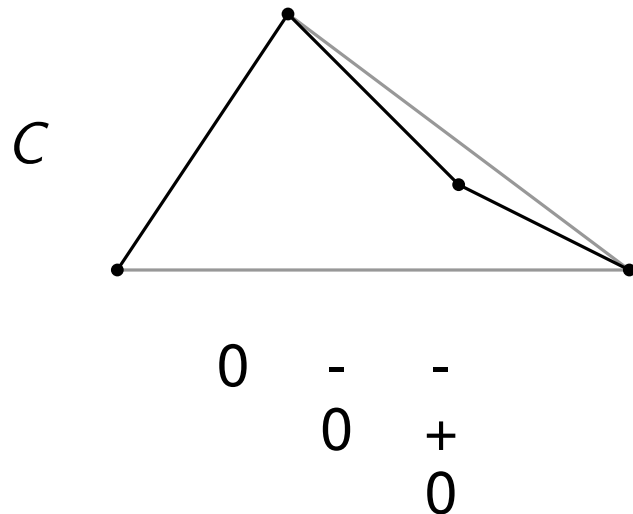
- zu einer Chain  $C$  gibt es eine *geflippte* Variante  $\bar{C}$ , für deren Visibility Triangle gilt:

$$V(\bar{C}) = -V(C)$$

# Strukturelle Eigenschaften - Flips

- zu einer Chain  $C$  gibt es eine *geflippte* Variante  $\bar{C}$ , für deren Visibility Triangle gilt:

$$V(\bar{C}) = -V(C)$$

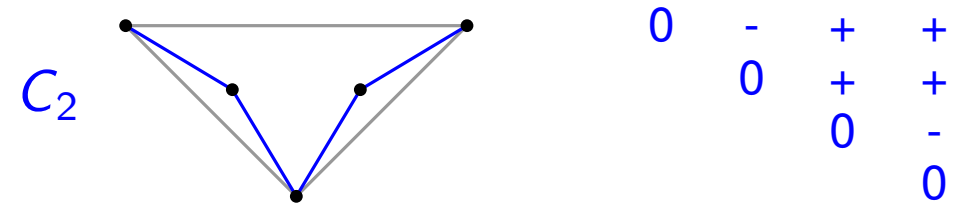
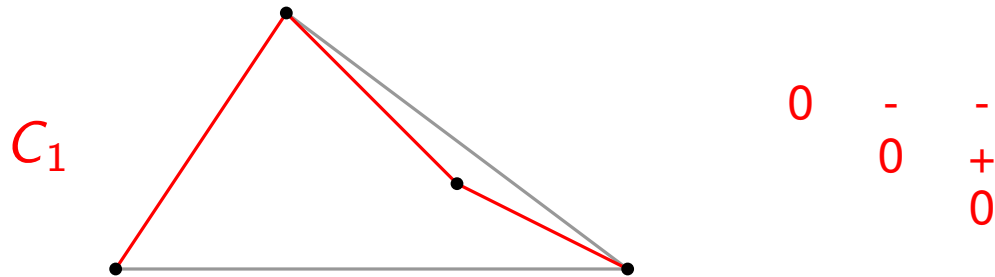


# Strukturelle Eigenschaften - Konvexe Summe

- Um zwei Chains  $C_1$ ,  $C_2$  der Länge  $n_1$  bzw.  $n_2$  zu konkatenieren, können folgende Operationen verwendet werden:

# Strukturelle Eigenschaften - Konvexe Summe

- Um zwei Chains  $C_1$ ,  $C_2$  der Länge  $n_1$  bzw.  $n_2$  zu konkatenieren, können folgende Operationen verwendet werden:
- Konvexe Summe*  $C_1 \vee C_2$ :

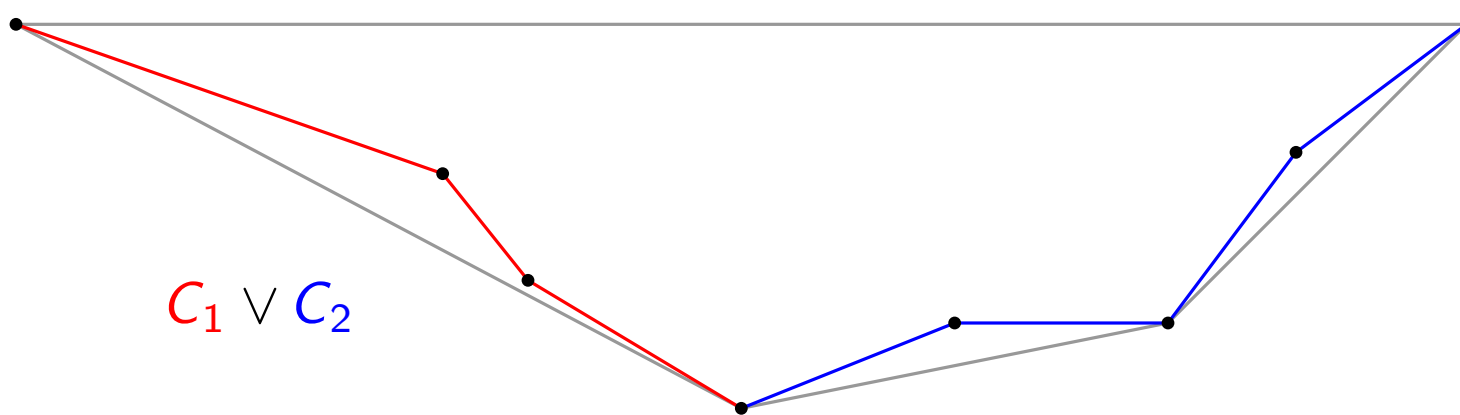




# Strukturelle Eigenschaften - Konvexe Summe

- Um zwei Chains  $C_1, C_2$  der Länge  $n_1$  bzw.  $n_2$  zu konkatenieren, können folgende Operationen verwendet werden:
- Konvexe Summe*  $C_1 \vee C_2$ :

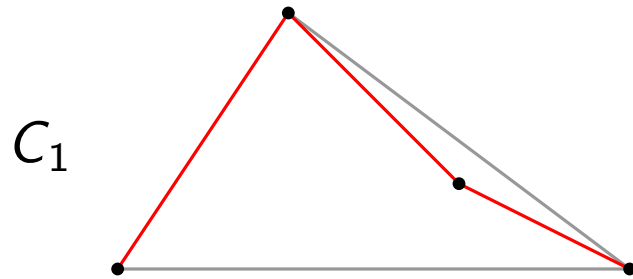
$$V(C_1 \vee C_2)_{i,j} = \begin{cases} V(C_1)_{i,j}, & \text{falls } i, j \in [0, n_1], \\ V(C_2)_{i-n_1, j-n_1}, & \text{falls } i, j \in [n_1, n_1 + n_2], \\ +1, & \text{falls } i < n_1 < j. \end{cases}$$



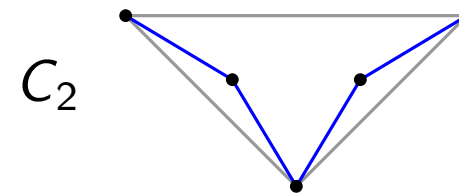
	$C_1$			$C_2$			
0	-	-		0	-	+	+
	0	+	0		0	+	+
						0	-
0	-	-	+	+	+	+	+
	0	+	+	+	+	+	+
		0	+	+	+	+	+
			0	-	+	+	+
				0	+	+	-
					0	-	0

# Strukturelle Eigenschaften - Konkave Summe

■ *Konkave Summe*  $C_1 \wedge C_2$ :



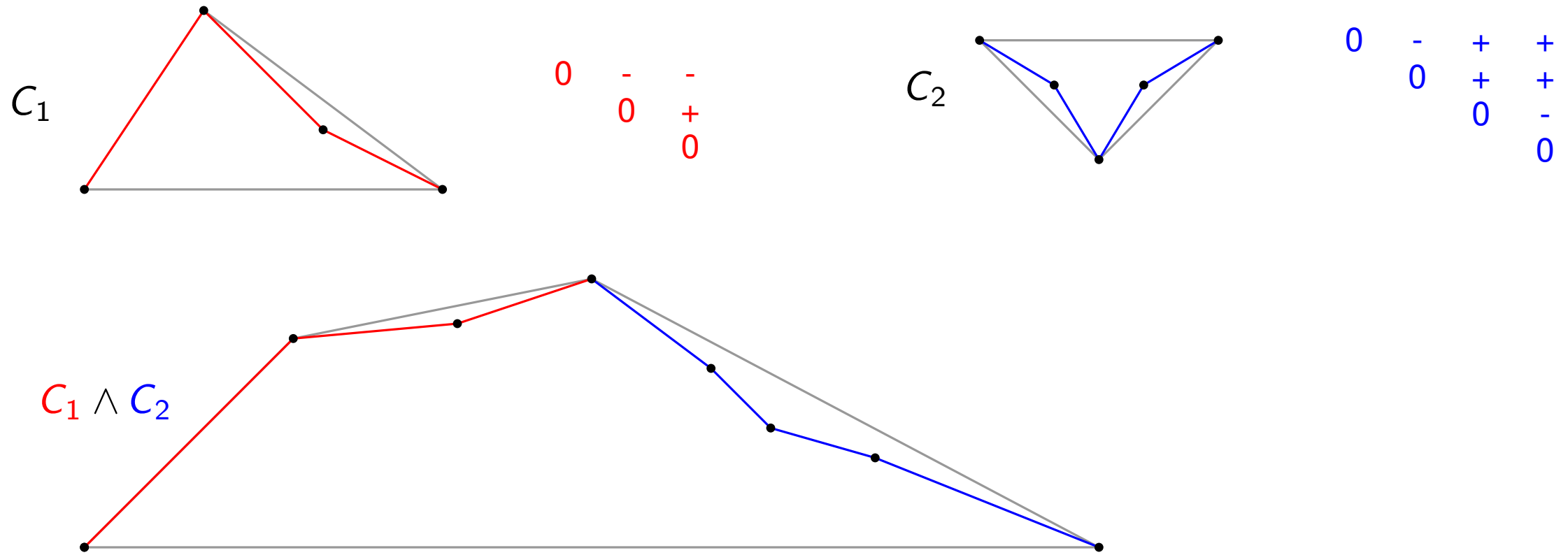
0 - -  
0 0 +  
0 0 0



0 - + +  
0 0 + +  
0 0 0 -  
0 0 0 0

# Strukturelle Eigenschaften - Konkave Summe

■ Konkave Summe  $C_1 \wedge C_2$ :

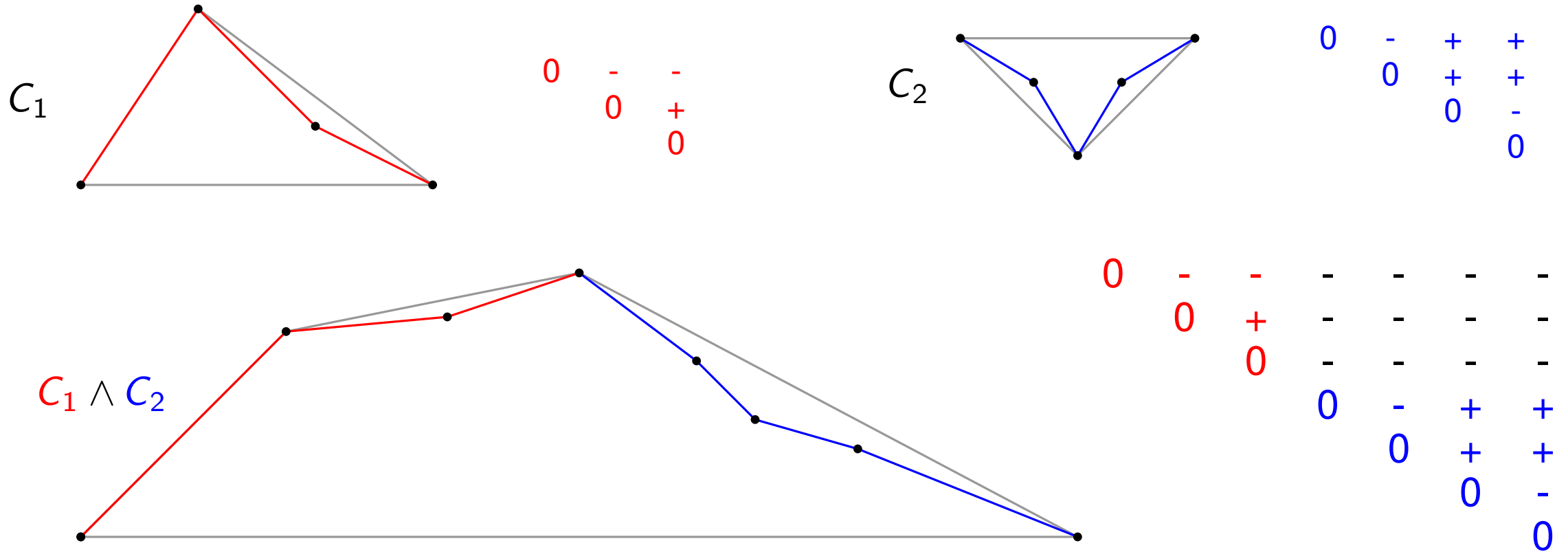


0 - -  
0 0 +  
0 0

0 - + +  
0 0 + +  
0 0 - 0

# Strukturelle Eigenschaften - Konkave Summe

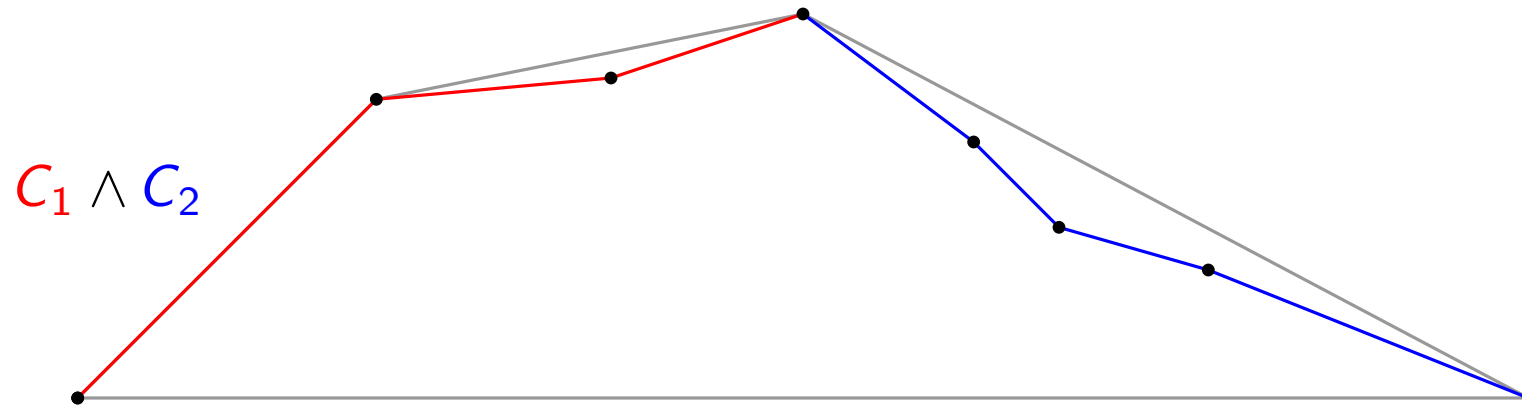
■ Konkave Summe  $C_1 \wedge C_2$ :



# Strukturelle Eigenschaften - Konkave Summe

## ■ Konkave Summe $C_1 \wedge C_2$ :

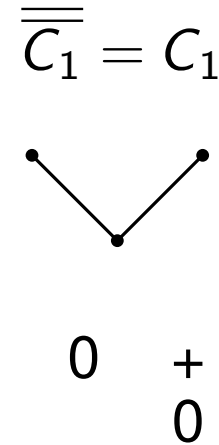
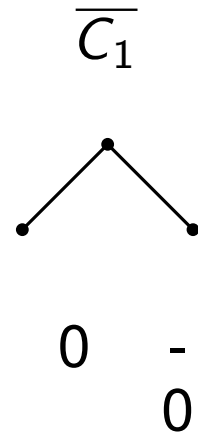
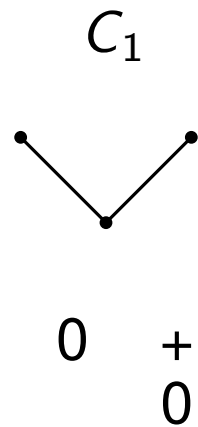
$$V(C_1 \wedge C_2)_{i,j} = \begin{cases} V(C_1)_{i,j}, & \text{falls } i, j \in [0, n_1], \\ V(C_2)_{i-n_1, j-n_1}, & \text{falls } i, j \in [n_1, n_1 + n_2], \\ -1, & \text{falls } i < n_1 < j. \end{cases}$$



	$C_1$		$C_2$				
0	-	-	0	-	+	+	
	0	+		0	+	+	
		0			0	-	0
0	-	-	-	-	-	-	-
	0	+	-	-	-	-	-
		0	-	-	-	-	-
			0	-	+	+	
				0	+	+	
					0	-	
						0	

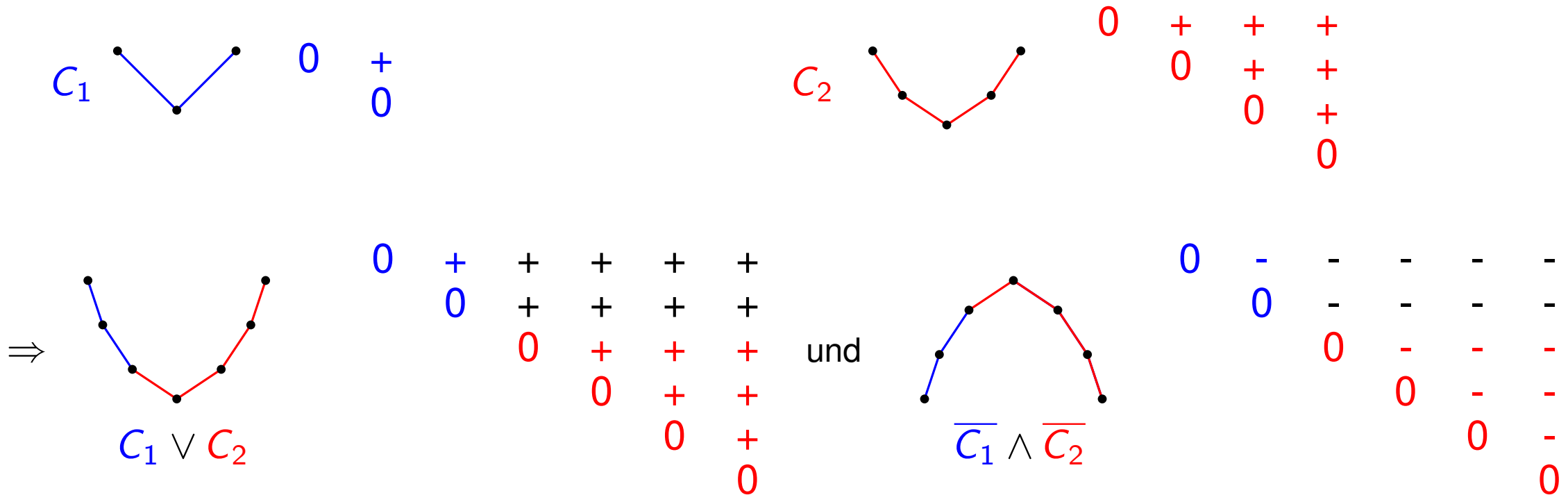
# Strukturelle Eigenschaften - Algebraische Eigenschaften

- *Involution*:  $V(\overline{\overline{C_1}}) = V(C_1)$



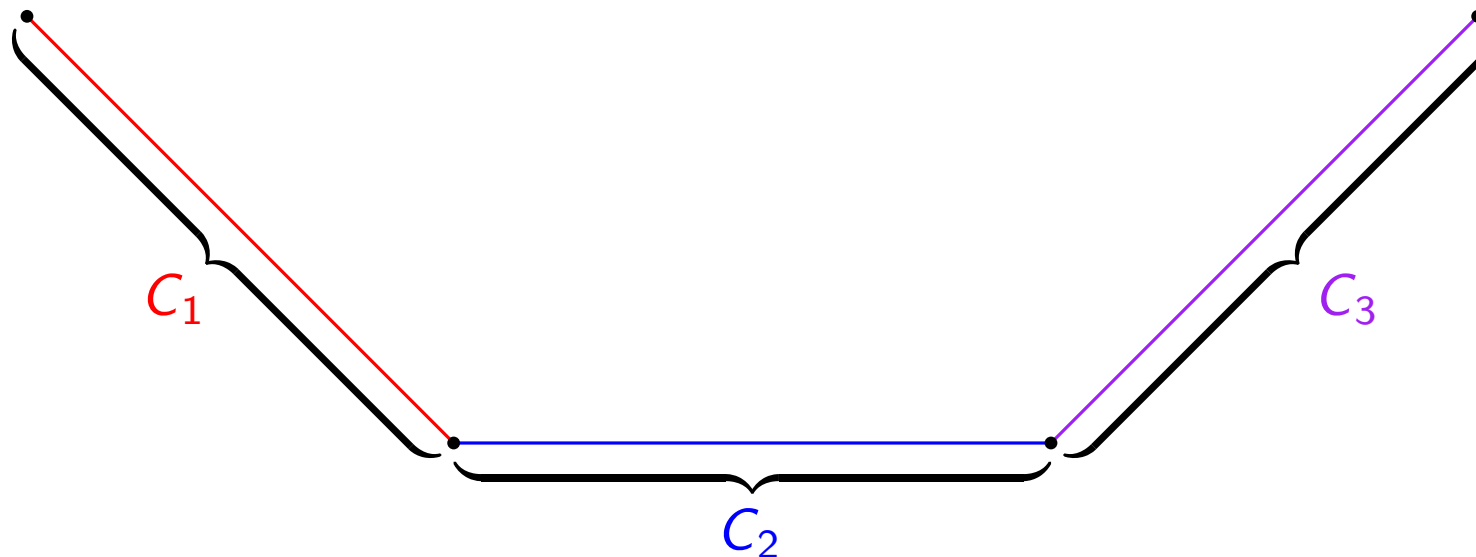
# Strukturelle Eigenschaften - Algebraische Eigenschaften

- *Involution*:  $V(\overline{\overline{C_1}}) = V(C_1)$
- *De Morgan*:  $V(\overline{C_1 \vee C_2}) = V(\overline{C_1} \wedge \overline{C_2})$  und  $V(\overline{C_1 \wedge C_2}) = V(\overline{C_1} \vee \overline{C_2})$



# Strukturelle Eigenschaften - Algebraische Eigenschaften

- *Involution*:  $V(\overline{\overline{C_1}}) = V(C_1)$
- *De Morgan*:  $V(\overline{C_1 \vee C_2}) = V(\overline{C_1} \wedge \overline{C_2})$  und  $V(\overline{C_1 \wedge C_2}) = V(\overline{C_1} \vee \overline{C_2})$
- *Assoziativität*:  $V((C_1 \vee C_2) \vee C_3) = V(C_1 \vee (C_2 \vee C_3))$  und  $V((C_1 \wedge C_2) \wedge C_3) = V(C_1 \wedge (C_2 \wedge C_3))$



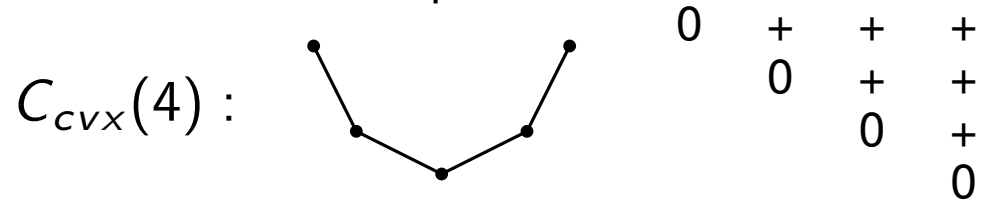
# Strukturelle Eigenschaften - Beispiele

- durch Techniken kann man nun verschiedene Chains bauen

# Strukturelle Eigenschaften - Beispiele

- durch Techniken kann man nun verschiedene Chains bauen

- $C_{cvx}(n) = \underbrace{E \vee \dots \vee E}_{n \text{ Kopien}}$

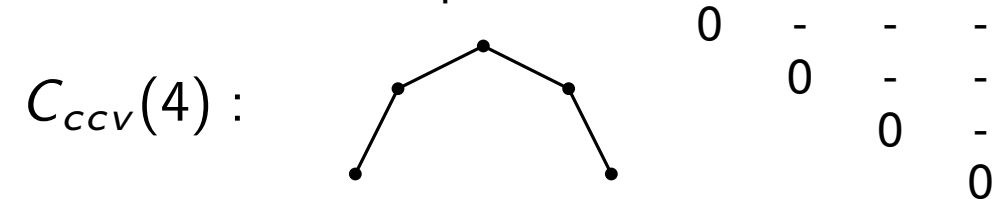
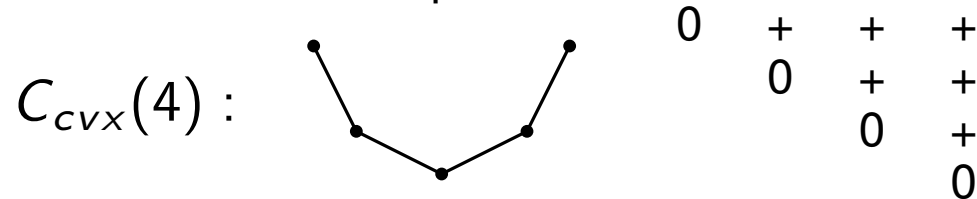


# Strukturelle Eigenschaften - Beispiele

■ durch Techniken kann man nun verschiedene Chains bauen

■  $C_{CVX}(n) = \underbrace{E \vee \dots \vee E}_{n \text{ Kopien}}$

■  $C_{CCV}(n) = \underbrace{E \wedge \dots \wedge E}_{n \text{ Kopien}}$

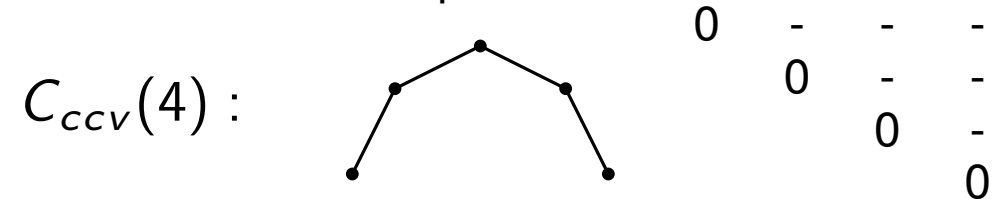
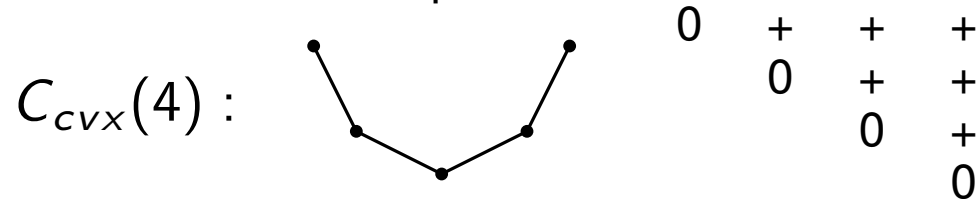


# Strukturelle Eigenschaften - Beispiele

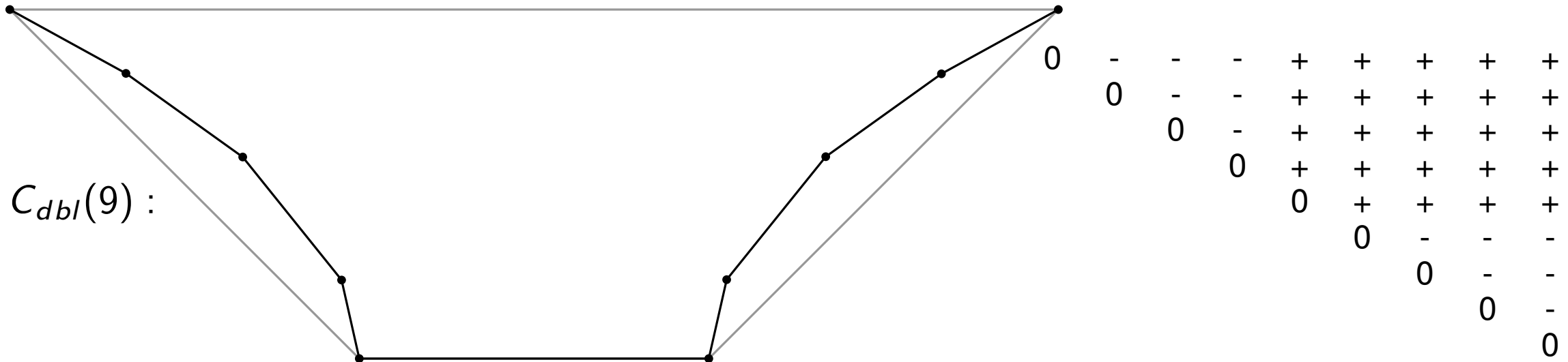
■ durch Techniken kann man nun verschiedene Chains bauen

■  $C_{cvx}(n) = \underbrace{E \vee \dots \vee E}_{n \text{ Kopien}}$

■  $C_{ccv}(n) = \underbrace{E \wedge \dots \wedge E}_{n \text{ Kopien}}$



■ *Double Chain*  $C_{dbl}(n) = C_{ccv}(k) \vee E \vee C_{cvx}(k)$

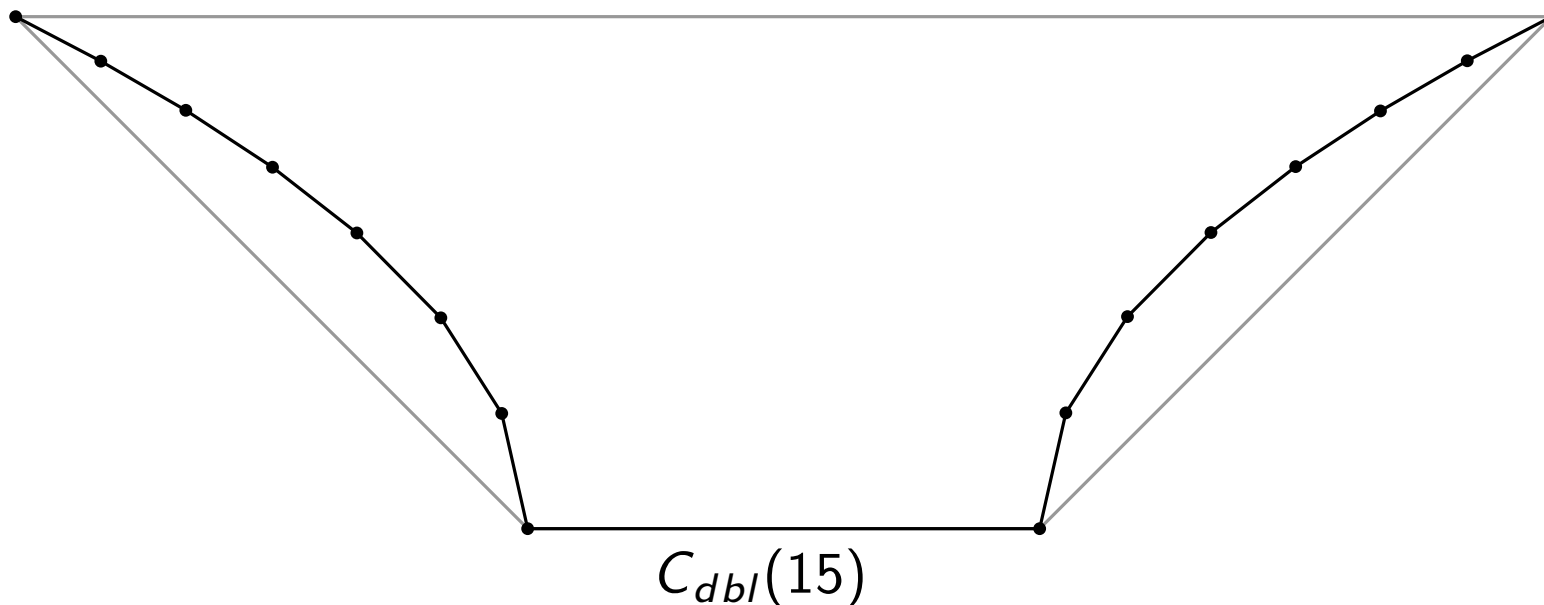


# Triangulierung von Chains - Oben und unten

- Chain Edges teilen Triangulierung in *obere* und *untere Triangulierung*
- können somit separat analysiert werden
- Anzahl oberer und unterer Triangulierungen  $U(C)$  und  $L(C)$ , für die gilt:  
 $tr(C) = U(C) \cdot L(C)$

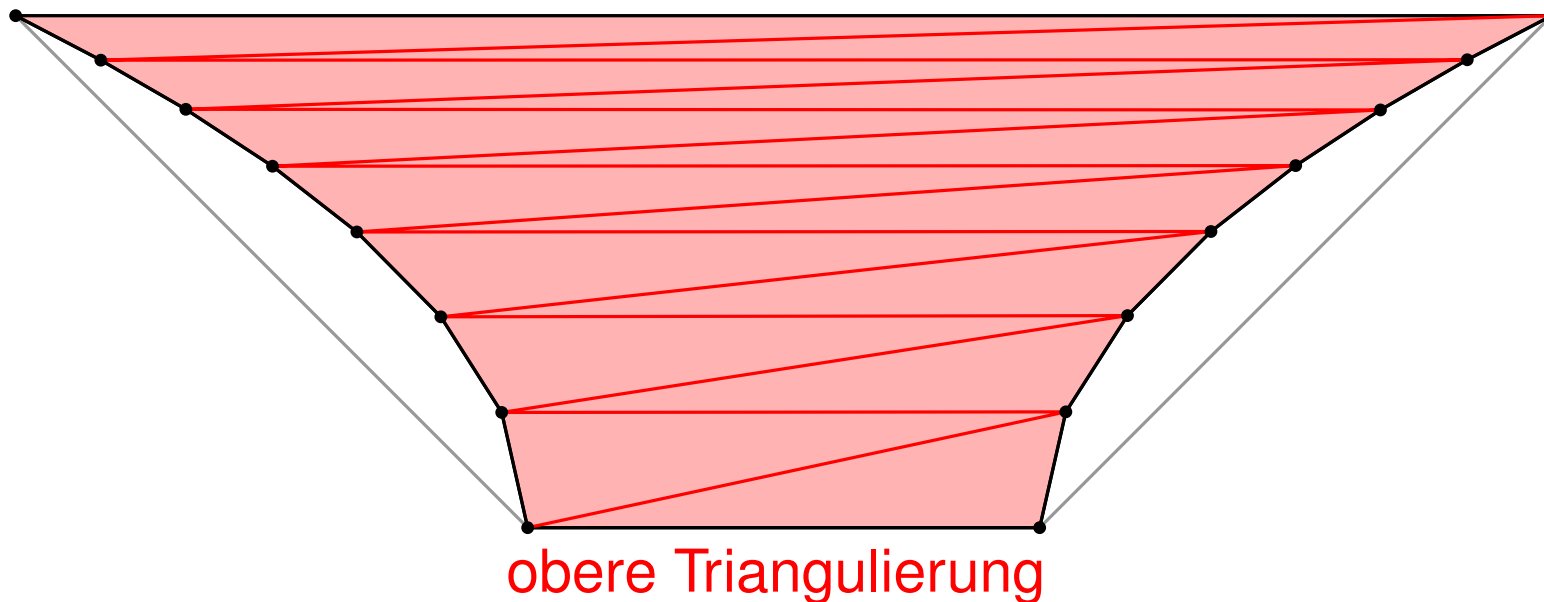
# Triangulierung von Chains - Oben und unten

- Chain Edges teilen Triangulierung in *obere* und *untere Triangulierung*
- können somit separat analysiert werden
- Anzahl oberer und unterer Triangulierungen  $U(C)$  und  $L(C)$ , für die gilt:  
 $tr(C) = U(C) \cdot L(C)$



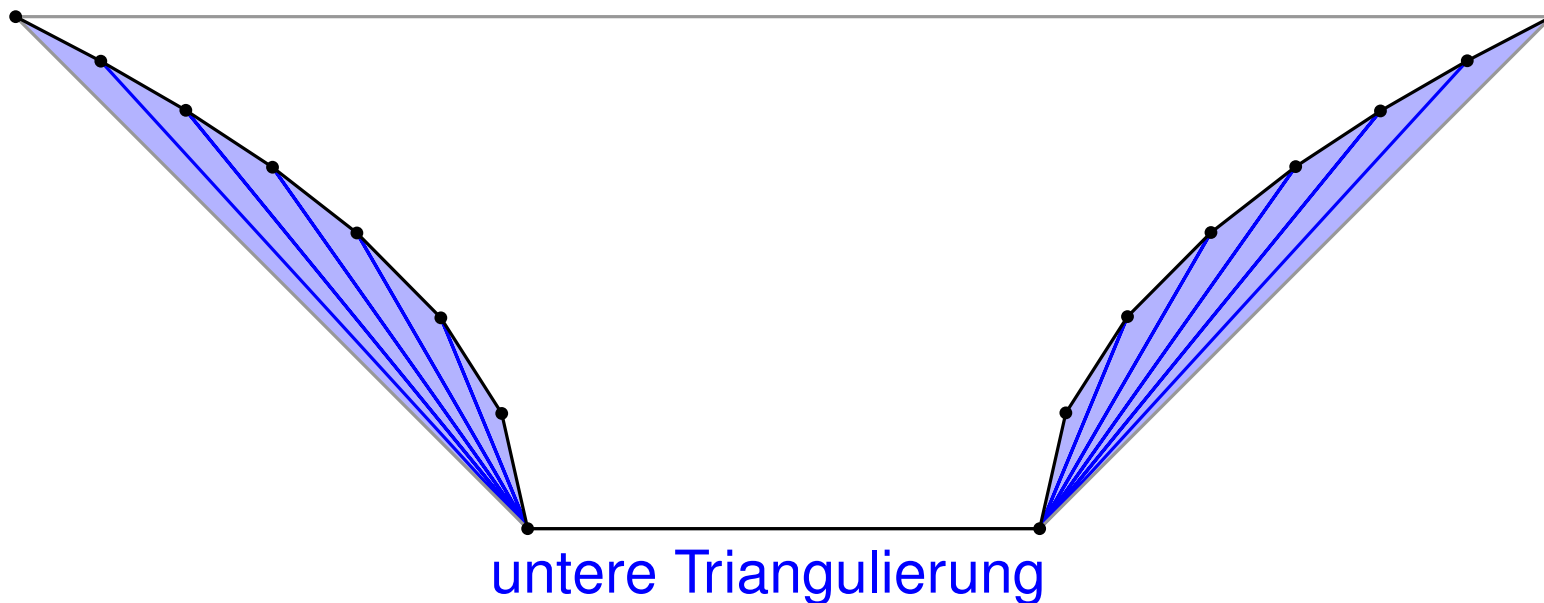
# Triangulierung von Chains - Oben und unten

- Chain Edges teilen Triangulierung in *obere* und *untere Triangulierung*
- können somit separat analysiert werden
- Anzahl oberer und unterer Triangulierungen  $U(C)$  und  $L(C)$ , für die gilt:  
 $tr(C) = U(C) \cdot L(C)$



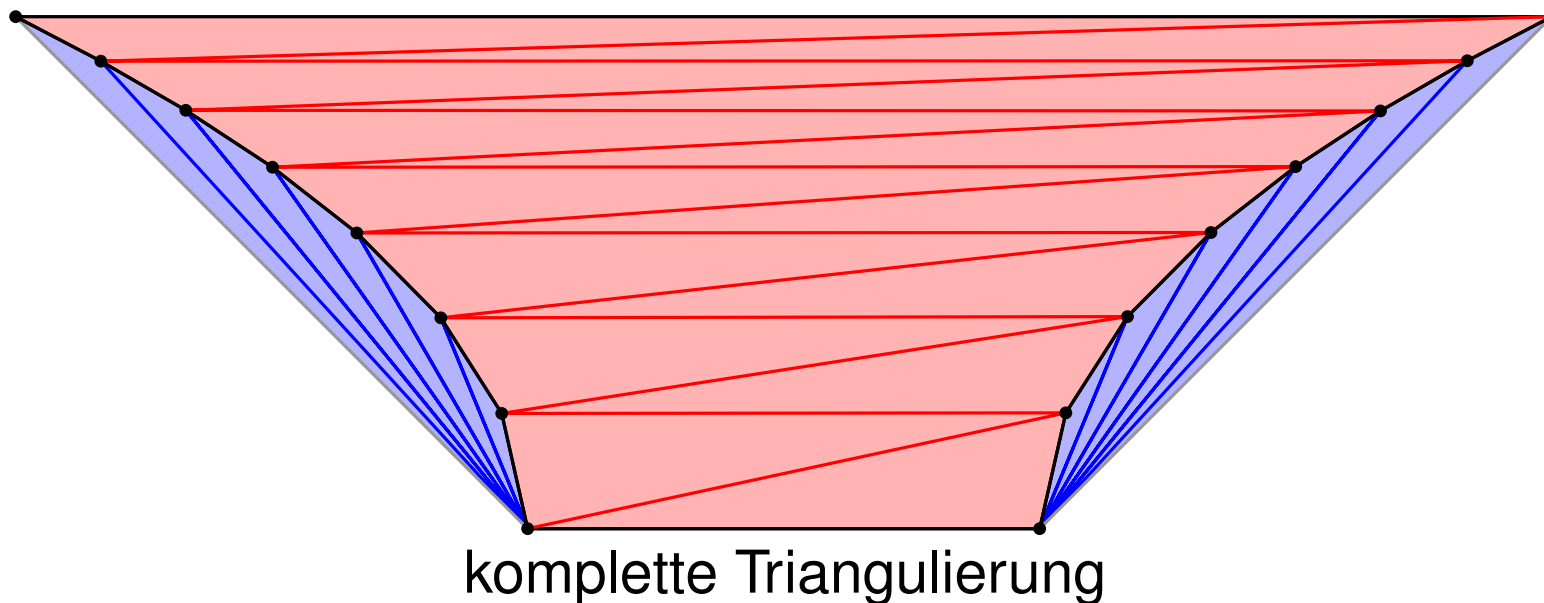
# Triangulierung von Chains - Oben und unten

- Chain Edges teilen Triangulierung in *obere* und *untere Triangulierung*
- können somit separat analysiert werden
- Anzahl oberer und unterer Triangulierungen  $U(C)$  und  $L(C)$ , für die gilt:  
 $tr(C) = U(C) \cdot L(C)$



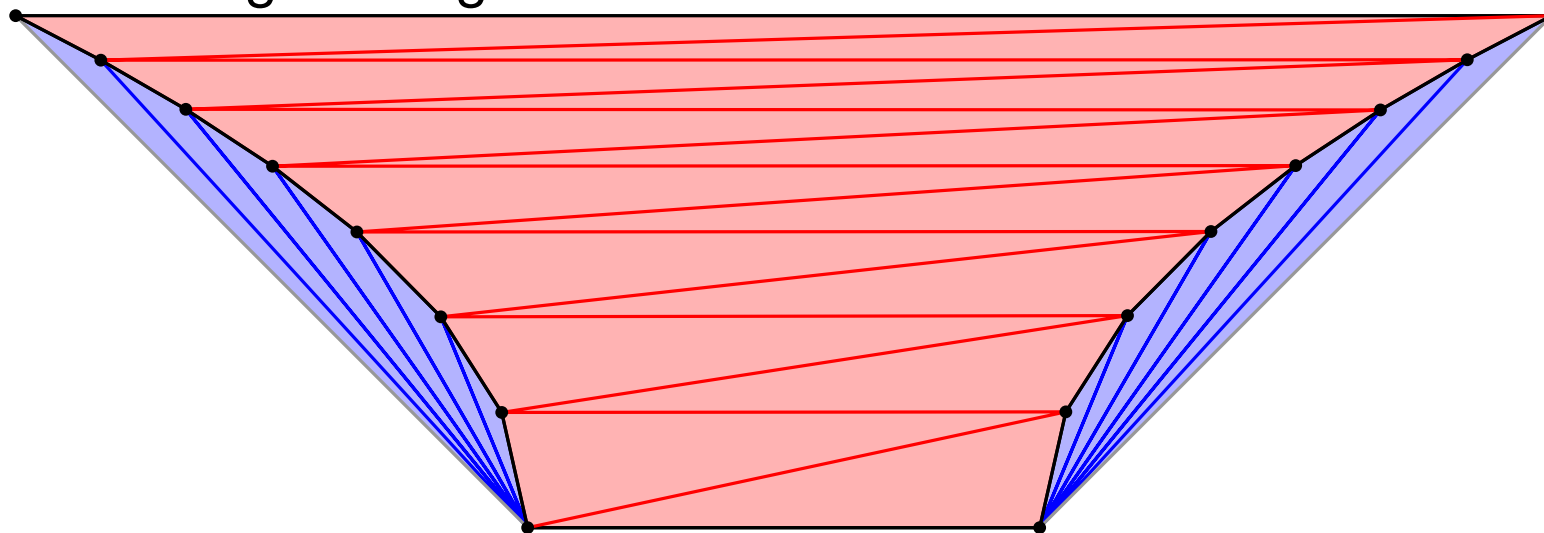
# Triangulierung von Chains - Oben und unten

- Chain Edges teilen Triangulierung in *obere* und *untere Triangulierung*
- können somit separat analysiert werden
- Anzahl oberer und unterer Triangulierungen  $U(C)$  und  $L(C)$ , für die gilt:  
 $tr(C) = U(C) \cdot L(C)$



# Triangulierung von Chains - Oben und unten

- Chain Edges teilen Triangulierung in *obere* und *untere Triangulierung*
- können somit separat analysiert werden
- Anzahl oberer und unterer Triangulierungen  $U(C)$  und  $L(C)$ , für die gilt:  
 $tr(C) = U(C) \cdot L(C)$
- beachte  $L(C) = U(\bar{C})$ , daher reicht im Folgenden Betrachtung der Eigenschaften von oberen Triangulierungen aus



komplette Triangulierung

# Triangulierung von Chains - Partielle obere Triangulierung

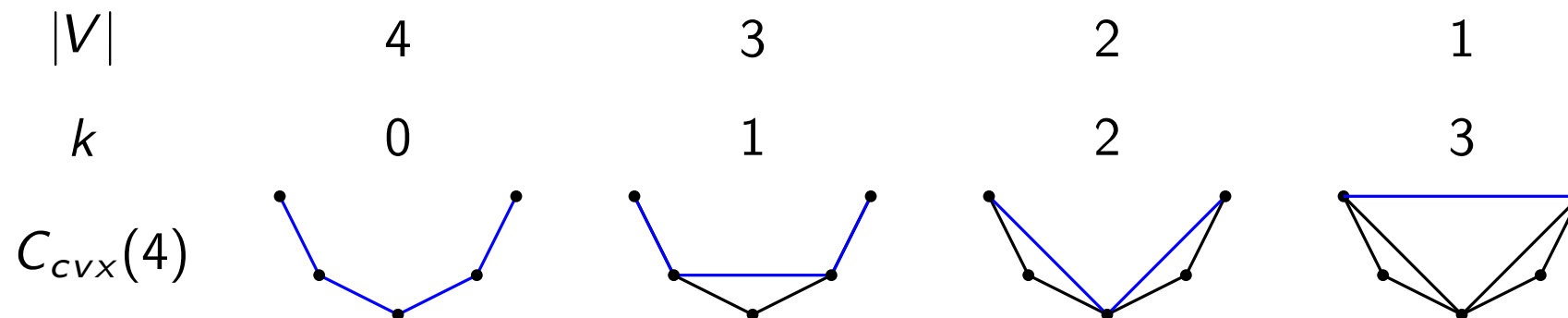
- wollen Vorgang der Triangulierung formalisieren
- dazu bauen wir ab jetzt obere Triangulierungen von den Chain Edges an nach oben hin auf

# Triangulierung von Chains - Partielle obere Triangulierung

- wollen Vorgang der Triangulierung formalisieren
- dazu bauen wir ab jetzt obere Triangulierungen von den Chain Edges an nach oben hin auf
- zu jeder Chain  $C$  lassen sich so *partielle obere Triangulierungen* (PUT) mit von oben *sichtbaren Kanten*  $V$  bilden
- hat bei  $k$  eingefügten Dreiecken  $n - k$  sichtbare Kanten

# Triangulierung von Chains - Partielle obere Triangulierung

- wollen Vorgang der Triangulierung formalisieren
- dazu bauen wir ab jetzt obere Triangulierungen von den Chain Edges an nach oben hin auf
- zu jeder Chain  $C$  lassen sich so *partielle obere Triangulierungen* (PUT) mit von oben *sichtbaren Kanten*  $V$  bilden
- hat bei  $k$  eingefügten Dreiecken  $n - k$  sichtbare Kanten



# Triangulierung von Chains - Triangulierungspolynom

- sei  $t_k(C)$  die *Anzahl partieller oberer Triangulierungen* mit  $k$  Dreiecken
- dann ist das obere *Triangulierungspolynom* (TP) von  $C$  die korrespondierende erzeugende Funktion:

$$T_C(x) = \sum_{k=0}^{n-1} t_k(C)x^k$$

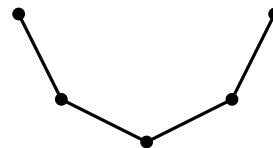
# Triangulierung von Chains - Triangulierungspolynom

- sei  $t_k(C)$  die Anzahl partieller oberer Triangulierungen mit  $k$  Dreiecken
- dann ist das obere Triangulierungspolynom (TP) von  $C$  die korrespondierende erzeugende Funktion:

$$T_C(x) = \sum_{k=0}^{n-1} t_k(C)x^k$$

- Beispiel  $C_{cvx}(4)$ :

$$T_{C_{cvx}(4)}(x) =$$



# Triangulierung von Chains - Triangulierungspolynom

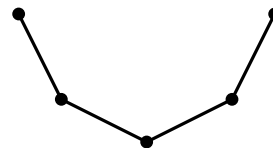
- sei  $t_k(C)$  die Anzahl partieller oberer Triangulierungen mit  $k$  Dreiecken
- dann ist das obere Triangulierungspolynom (TP) von  $C$  die korrespondierende erzeugende Funktion:

$$T_C(x) = \sum_{k=0}^{n-1} t_k(C) x^k$$

- Beispiel  $C_{cvx}(4)$ :

$$T_{C_{cvx}(4)}(x) = 1 +$$

$$k = 0$$



# Triangulierung von Chains - Triangulierungspolynom

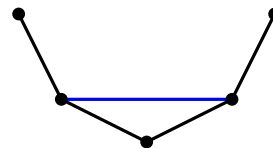
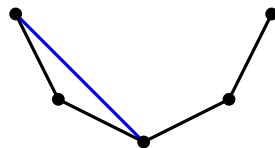
- sei  $t_k(C)$  die Anzahl partieller oberer Triangulierungen mit  $k$  Dreiecken
- dann ist das obere Triangulierungspolynom (TP) von  $C$  die korrespondierende erzeugende Funktion:

$$T_C(x) = \sum_{k=0}^{n-1} t_k(C)x^k$$

- Beispiel  $C_{cvx}(4)$ :

$$T_{C_{cvx}(4)}(x) = 1 + 3x +$$

$$k = 1$$



# Triangulierung von Chains - Triangulierungspolynom

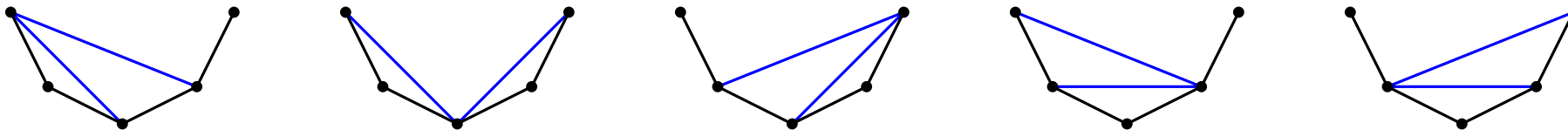
- sei  $t_k(C)$  die Anzahl partieller oberer Triangulierungen mit  $k$  Dreiecken
- dann ist das obere Triangulierungspolynom (TP) von  $C$  die korrespondierende erzeugende Funktion:

$$T_C(x) = \sum_{k=0}^{n-1} t_k(C) x^k$$

- Beispiel  $C_{cvx}(4)$ :

$$T_{C_{cvx}(4)}(x) = 1 + 3x + 5x^2$$

$$k = 2$$



# Triangulierung von Chains - Triangulierungspolynom

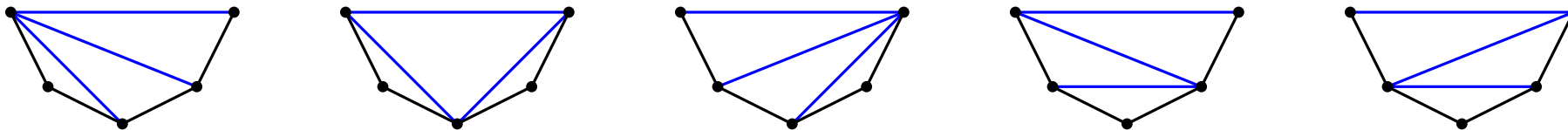
- sei  $t_k(C)$  die Anzahl partieller oberer Triangulierungen mit  $k$  Dreiecken
- dann ist das obere Triangulierungspolynom (TP) von  $C$  die korrespondierende erzeugende Funktion:

$$T_C(x) = \sum_{k=0}^{n-1} t_k(C) x^k$$

- Beispiel  $C_{cvx}(4)$ :

$$T_{C_{cvx}(4)}(x) = 1 + 3x + 5x^2 + 5x^3$$

$$k = 3$$



# Triangulierung von Chains - TP und konkave Summe

- Was passiert, mit dem TP wenn man zwei Chains nun mittels konvexer oder konkaver Summen konkateniert?

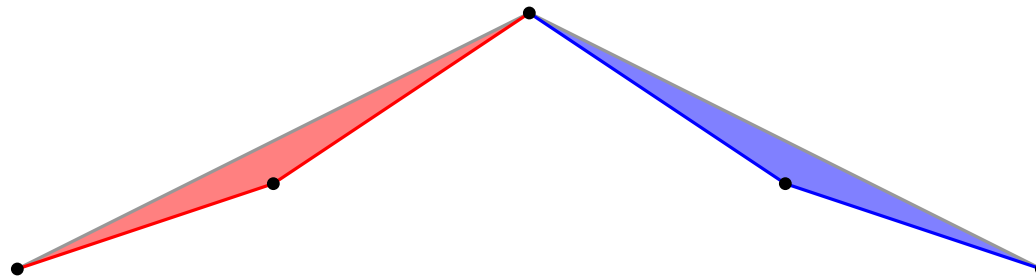
# Triangulierung von Chains - TP und konkave Summe

- Was passiert, mit dem TP wenn man zwei Chains nun mittels konvexer oder konkaver Summen konkateniert?

- konkaver Fall einfach:

$$T_{C_1 \wedge C_2}(x) = T_{C_1}(x) \cdot T_{C_2}(x) \quad \text{und} \quad U(C_1 \wedge C_2) = U(C_1) \cdot U(C_2)$$

- bei konkaver Summe gibt es keine Möglichkeit Triangulierungen der beiden Summanden zu verbinden



# Triangulierung von Chains - TP und konvexe Summe

- konvexer Fall hingegen komplexer für obere Triangulierungen
- jede PUT von  $C_1 \vee C_2$  besteht aus einer PUT von  $C_1$ , einer PUT von  $C_2$  und Kanten zwischen  $C_1$  und  $C_2$

# Triangulierung von Chains - TP und konvexe Summe

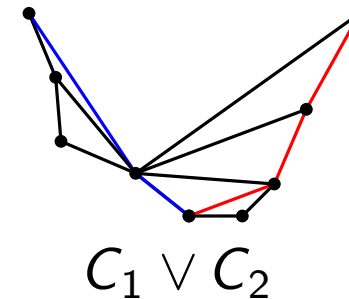
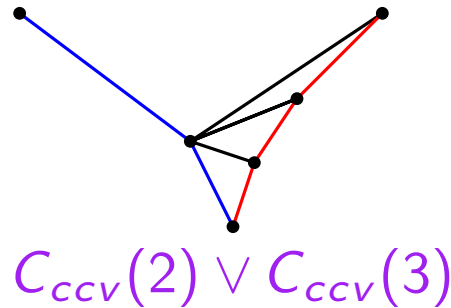
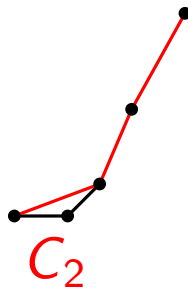
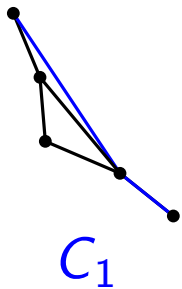
- konvexer Fall hingegen komplexer für obere Triangulierungen
- jede PUT von  $C_1 \vee C_2$  besteht aus einer PUT von  $C_1$ , einer PUT von  $C_2$  und Kanten zwischen  $C_1$  und  $C_2$
- genauer ergibt sich:

$$T_{C_1 \vee C_2}(x) = \sum_{k_1=0}^{n_1-1} \sum_{k_2=0}^{n_2-1} t_{k_1}(C_1) \cdot t_{k_2}(C_2) \cdot x^{k_1+k_2} \cdot T_{C_{ccv}(n_1-k_1) \vee C_{ccv}(n_2-k_2)}(x)$$

# Triangulierung von Chains - TP und konvexe Summe

- konvexer Fall hingegen komplexer für obere Triangulierungen
- jede PUT von  $C_1 \vee C_2$  besteht aus einer PUT von  $C_1$ , einer PUT von  $C_2$  und Kanten zwischen  $C_1$  und  $C_2$
- genauer ergibt sich:

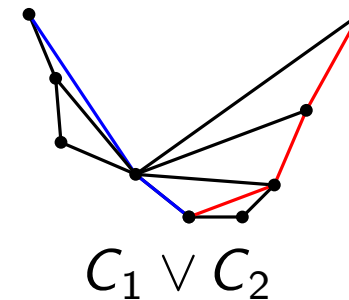
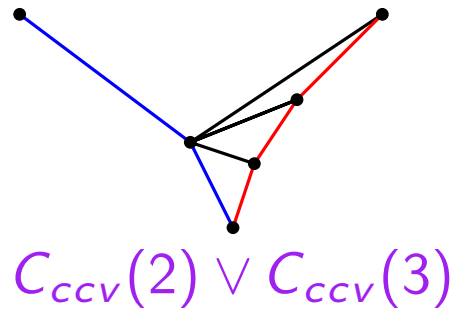
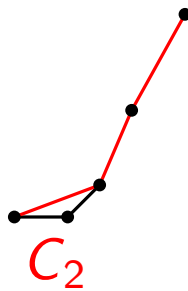
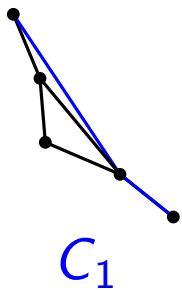
$$T_{C_1 \vee C_2}(x) = \sum_{k_1=0}^{n_1-1} \sum_{k_2=0}^{n_2-1} t_{k_1}(C_1) \cdot t_{k_2}(C_2) \cdot x^{k_1+k_2} \cdot T_{C_{ccv}(n_1-k_1) \vee C_{ccv}(n_2-k_2)}(x)$$



# Triangulierung von Chains - TP und konvexe Summe

- konvexer Fall hingegen komplexer für obere Triangulierungen
- jede PUT von  $C_1 \vee C_2$  besteht aus einer PUT von  $C_1$ , einer PUT von  $C_2$  und Kanten zwischen  $C_1$  und  $C_2$
- genauer ergibt sich:

$$T_{C_1 \vee C_2}(x) = \sum_{k_1=0}^{n_1-1} \sum_{k_2=0}^{n_2-1} t_{k_1}(C_1) \cdot t_{k_2}(C_2) \cdot x^{k_1+k_2} \cdot T_{C_{ccv}(n_1-k_1) \vee C_{ccv}(n_2-k_2)}(x)$$



- da Chains nur aus konvexen bzw. konkaven Summen der primitiven Chain bestehen, kann somit auch das TP für jede Chain berechnet werden

# Koch Chain

## Vorstellung des neuen Rekordhalters

# Koch Chain

## Vorstellung des neuen Rekordhalters

- inspiriert von Koch Kurve: Fraktal, stetige, aber an keiner Stelle differenzierbare Kurve

# Koch Chain

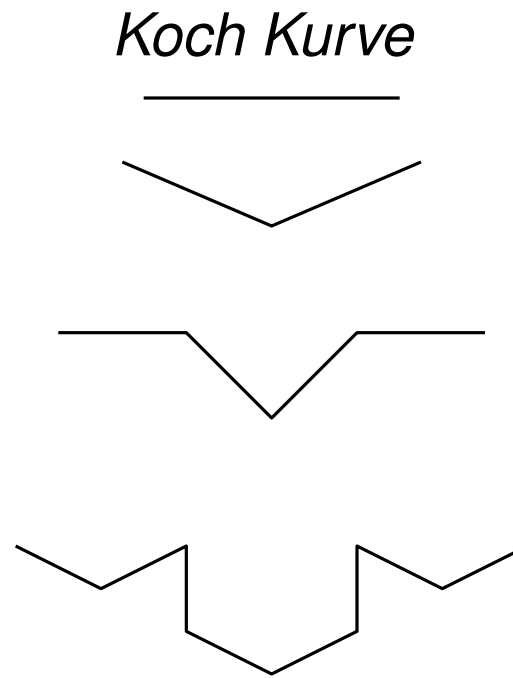
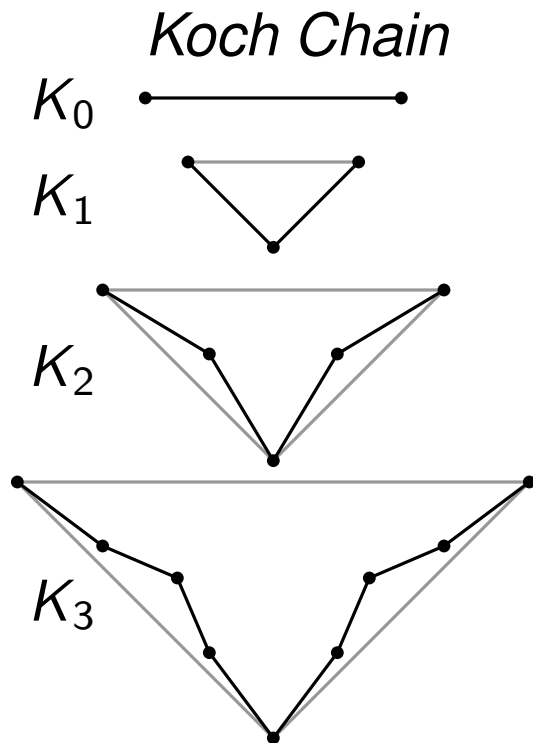
## Vorstellung des neuen Rekordhalters

- inspiriert von Koch Kurve: Fraktal, stetige, aber an keiner Stelle differenzierbare Kurve
- rekursiv definiert:  $K_s = \overline{K_{s-1}} \vee \overline{K_{s-1}}$  mit  $n = 2^s$  Chain Edges

# Koch Chain

## Vorstellung des neuen Rekordhalters

- inspiriert von Koch Kurve: Fraktal, stetige, aber an keiner Stelle differenzierbare Kurve
- rekursiv definiert:  $K_s = \overline{K_{s-1}} \vee \overline{K_{s-1}}$  mit  $n = 2^s$  Chain Edges



# Koch Chain Auswertung

- $K_3$  hat 424 verschiedene Triangulierungen (4 untere und 106 obere)
- beim  $K_4$  sind es schon ca. 975 Millionen

# Koch Chain Auswertung

- $K_3$  hat 424 verschiedene Triangulierungen (4 untere und 106 obere)
- beim  $K_4$  sind es schon ca. 975 Millionen
- dadurch experimentelle Analyse schnell rechenaufwändig
- konvergiert aber relativ schnell in Richtung  $\Omega(9.08^n)$

# Koch Chain Auswertung

- $K_3$  hat 424 verschiedene Triangulierungen (4 untere und 106 obere)
- beim  $K_4$  sind es schon ca. 975 Millionen
- dadurch experimentelle Analyse schnell rechenaufwändig
- konvergiert aber relativ schnell in Richtung  $\Omega(9.08^n)$

Durch das Ausnutzen der strukturellen Eigenschaften von Chains und der dadurch möglichen Benutzung von erzeugenden Funktionen, lassen sich folgende Schranken beweisen:

$$9.082799^n \leq \lim_{s \rightarrow \infty} \text{tr}(K_s) \leq 9.083139^n$$

# Was haben wir gesehen?

- durch Chain-Konzept lassen sich viele relevante Punktfolgen darstellen

# Was haben wir gesehen?

- durch Chain-Konzept lassen sich viele relevante Punktfolgen darstellen
- strukturelle Eigenschaften von Chains ermöglichen Darstellung jeder Chain nur durch konvexe und konkave Summen

# Was haben wir gesehen?

- durch Chain-Konzept lassen sich viele relevante Punktfolgen darstellen
- strukturelle Eigenschaften von Chains ermöglichen Darstellung jeder Chain nur durch konvexe und konkave Summen
- dadurch möglich, für jede Chain eine erzeugende Funktion zu berechnen

# Was haben wir gesehen?

- durch Chain-Konzept lassen sich viele relevante Punktmenngen darstellen
- strukturelle Eigenschaften von Chains ermöglichen Darstellung jeder Chain nur durch konvexe und konkave Summen
- dadurch möglich, für jede Chain eine erzeugende Funktion zu berechnen
- mit Hilfe dieser erzeugenden Funktionen lassen sich präzise Schranken für die Anzahl verschiedener Triangulierungen der Chains berechnen

# Was haben wir gesehen?

- durch Chain-Konzept lassen sich viele relevante Punktfolgen darstellen
- strukturelle Eigenschaften von Chains ermöglichen Darstellung jeder Chain nur durch konvexe und konkave Summen
- dadurch möglich, für jede Chain eine erzeugende Funktion zu berechnen
- mit Hilfe dieser erzeugenden Funktionen lassen sich präzise Schranken für die Anzahl verschiedener Triangulierungen der Chains berechnen
- Punktfolgenfamilie der Koch Chains erreicht deutlich höheren Wert an verschiedenen Triangulierungen als die zuvor führenden Generalized Double Zig-Zag Chains